

บทที่ 4

ผลการวิจัย



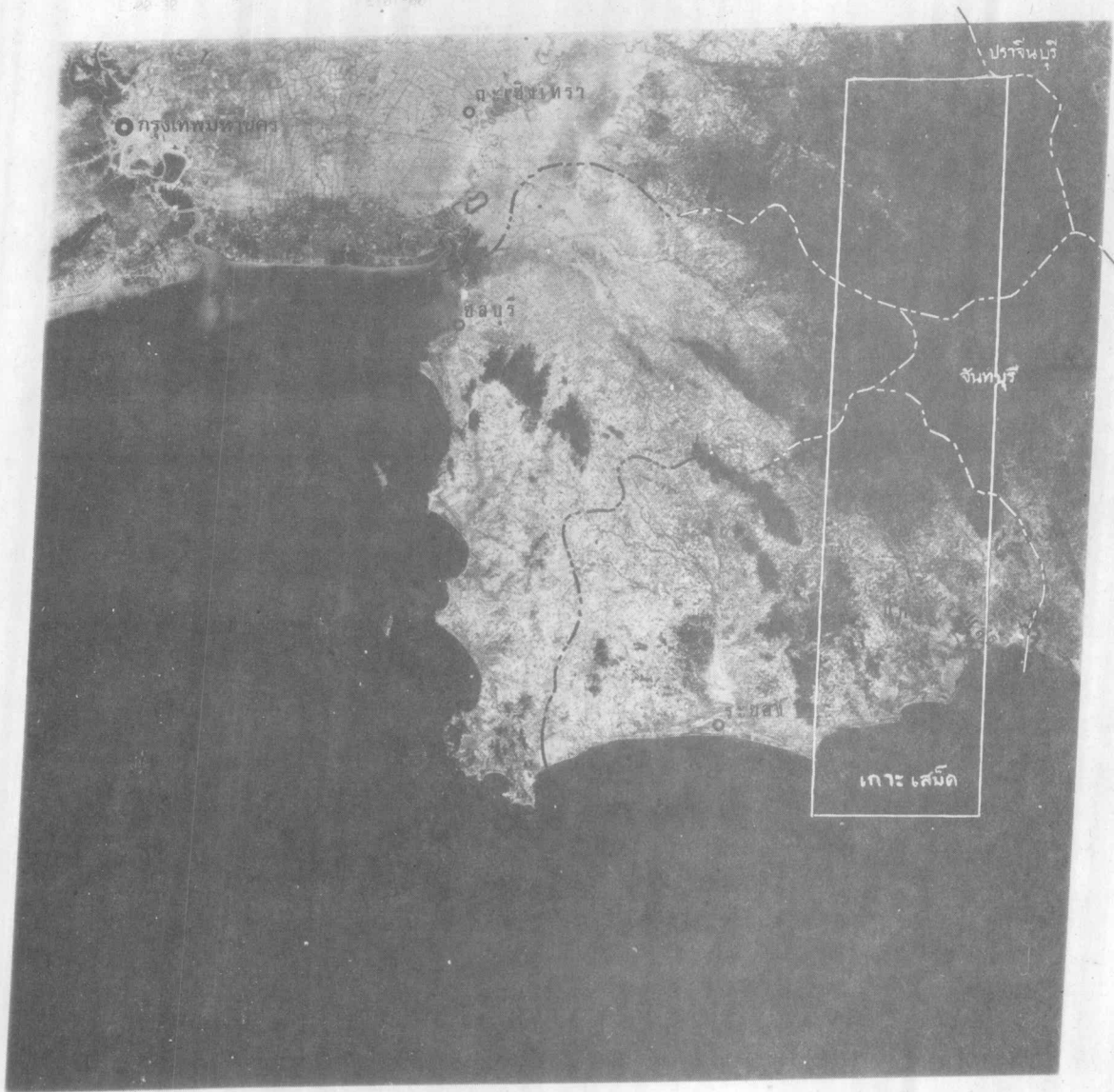
ในบทที่แล้วได้กล่าวถึง ทฤษฎีของการจำแนกภาพโดย วิธี Maximum Likelihood พร้อมทั้งวิธีการประมาณค่าสถิติที่เกี่ยวข้องไปแล้ว ในบทนี้จะได้กล่าวถึงการนำเอาวิธีการจำแนกภาพ แบบ Maximum Likelihood นี้ มาใช้ในทางปฏิบัติ พร้อมทั้งผลที่ได้จากการจำแนกภาพ ดังมีรายละเอียดต่าง ๆ ดังต่อไปนี้

การเลือก Bench Mark

ในการเปรียบเทียบเนื้อที่ป่าไม้ระหว่างปี พ.ศ. 2516 และปี พ.ศ. 2519 ทำให้เราทราบถึงการเปลี่ยนแปลงเนื้อที่ป่าไม้ในช่วงเวลาดังกล่าวได้ โดยเลือกพื้นที่ตัวอย่างหนึ่งทางภาคตะวันออกเฉียงเหนือของประเทศไทย ซึ่งประกอบด้วยพื้นที่บางส่วนของ 4 จังหวัด คือ จังหวัด ชลบุรี จันทบุรี ระยอง และฉะเชิงเทรา (ดูรูปที่ 13) ซึ่งตรงกับเทปข้อมูลดาวเทียม หมายเลข NASA ID E-1167-03076 (หรือ THAILAND ID 730106-4-7) และ NASA ID E-2361-02525 (หรือ THAILAND ID 760118-4-7) ตามลำดับ

แต่ข้อมูลดาวเทียมต่างปีกันนี้ จะให้ข้อมูลที่คลุมพื้นที่เหมือนกันเล็กน้อย ดังนั้นเพื่อให้ภาพ gray map และภาพการจำแนกข้อมูลเป็นภาพบริเวณเดียวกันทั้งสองปี จึงจำเป็นต้องหาจุดพิกัดที่จะให้พื้นที่ซึ่งซ้อนกันพอดี (bench mark) เราสามารถทำได้โดยการนำภาพถ่ายจากดาวเทียมของทั้งสองปีที่ต้องการศึกษามาพิจารณาดูว่า มีจุดหรือบริเวณใดที่จะนำมาเป็น bench mark ได้ ดูตามรูปที่ 13 และ 14 จะเห็นว่าบริเวณตอนใต้มีเกาะเสม็ดเหนือเกาะชันมามีส่วนเว้าโค้งของชายหาด และทางด้านซ้ายของเกาะ เป็นปลายแหลมของแผ่นดิน ตำแหน่งเหล่านี้เป็นลักษณะเด่น ที่ได้นำมาใช้เป็น bench mark

ในการวิเคราะห์จะต้องทำภาพเหล่านี้ออกมาในลักษณะ gray map ซึ่งการกำหนด level set อาจทำได้โดยอาศัย Histogram/Densitometry Plot ของข้อมูลในบริเวณ



รูปที่ 13 ภาพถ่ายจากดาวเทียม ขาว-ดำ แบนด์ 5 แสดงบริเวณที่ใช้ศึกษา
 ถ่ายภาพเมื่อวันที่ 6 มกราคม 2516



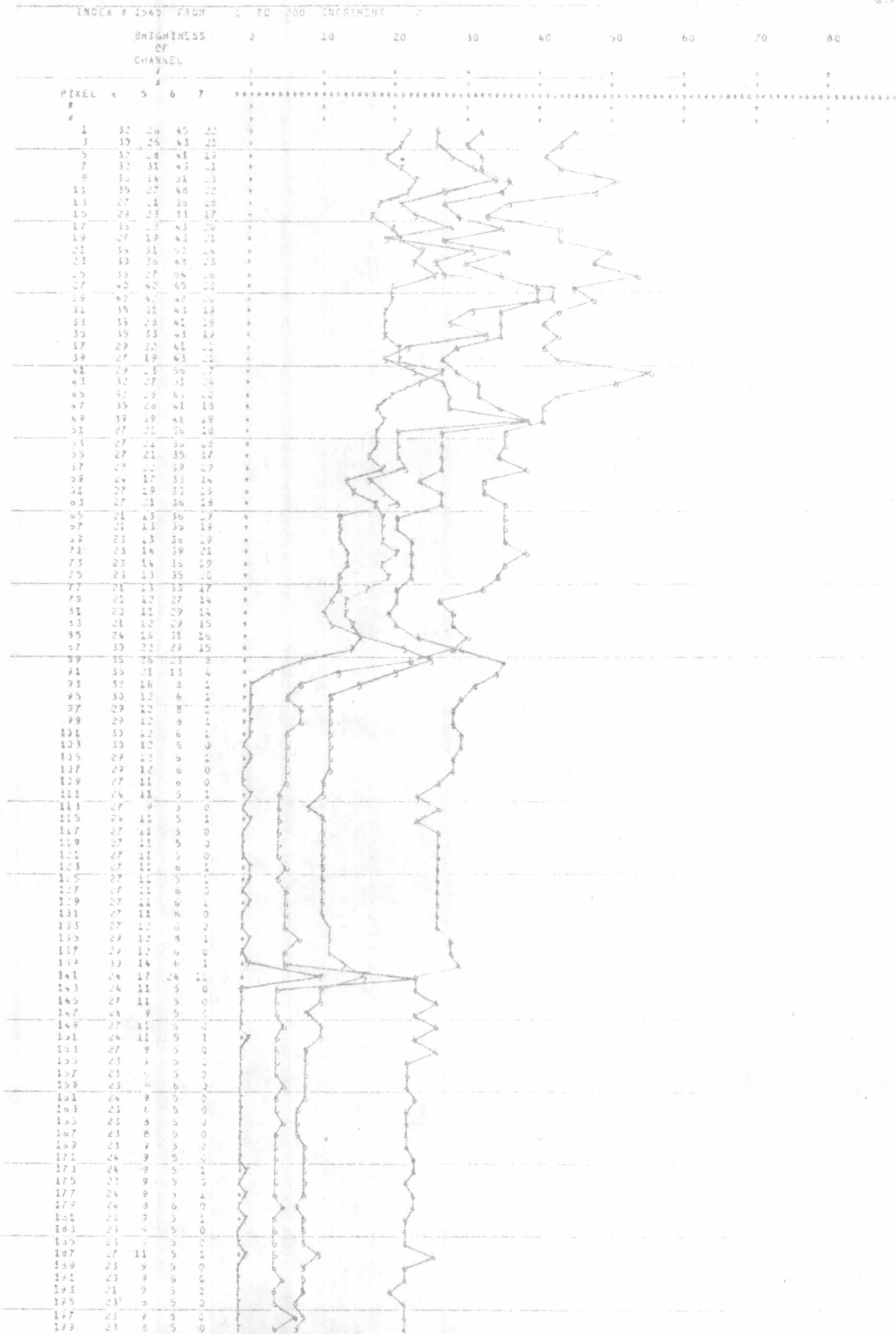
รูปที่ 14 ภาพถ่ายจากดาวเทียม ขาว-ดำ แบนด์ 5 แสดงบริเวณที่ใช้ศึกษา
 ถ่ายภาพเมื่อวันที่ 18 มกราคม 2519

ที่ต้องการ Densitometry Plot นั้นจะ plot ค่าความเข้มแสงของแต่ละแบนด์ออกมาตามค่าจริง ตามแนวจุดหรือบรรทัดหนึ่งที่ต้องการ ดังรูปที่ 15 ซึ่งเป็นรูปของ Densitometry Plot ของข้อมูลปี พ.ศ. 2516 ในแนวบรรทัดที่ 1540 หรืออาจให้โปรแกรมเป็นผู้กำหนด level ให้ (Automatic Level Setting) ซึ่งเป็นวิธีที่เลือกใช้ทำ gray map ในวิทยานิพนธ์นี้

ดังนั้นจึงทำ gray map จากแบนด์ 5 ของบริเวณนี้ออกมาทั้งสองปี เพื่อใช้หาจุดพิกัดที่ตรงกัน และเพื่อให้ได้ภาพ gray map ใกล้เคียงกับบริเวณที่ต้องการเราจึงทำการประมาณจากภาพถ่ายจากดาวเทียม ดูว่าพื้นที่ทั้งสองนี้จะตรงกับบรรทัด (line) และจุด (pixel) ที่เท่าไรในแต่ละปี ผลปรากฏว่า ปี พ.ศ. 2516 เริ่มต้นบรรทัดที่ 1451 จุดที่ 1 และมีความยาว 300 บรรทัด กว้าง 125 จุด ส่วนปี พ.ศ. 2519 เริ่มต้นบรรทัดที่ 1301 จุดที่ 201 ในขนาดความกว้างยาวที่เท่ากัน จาก gray map ที่ได้นำมาลากเส้นตรงตามแนวยาวและตามแนวขวาง โดยลากจากจุดที่เลือกไว้แล้วซึ่งเป็นตำแหน่งของความกว้าง ความยาวและส่วนเว้าโค้ง ของปลายแหลม และของเกาะ เพื่อให้ทราบแน่ชัดว่าตรงกับจุดและบรรทัดที่เท่าใด จากการพิจารณาพบว่าทางด้านจุด: เส้นตรงที่ลากขึ้นมาแต่ละเส้นมีระยะห่างเป็นจำนวนจุดที่เท่า ๆ กันทั้งสองปี ส่วนทางด้านบรรทัดนั้น เส้นที่ลากมาจากส่วนต่าง ๆ ของเกาะมีระยะห่างเท่ากันทั้งสองปีแต่ปลายแหลมของเกาะจะต่างกันอยู่หนึ่งจุด ซึ่งพอจะอนุโลมให้ตรงกันได้ ถ้ายึดแนวเกาะเป็นสำคัญ (ดูรูปที่ 16 ประกอบ) ได้จุดพิกัดที่นำมาเป็น bench mark ดังแสดงไว้ในตารางที่ 1 กล่าวคือหาก gray map ในปี พ.ศ. 2516 เริ่มบรรทัดที่ 152 จุดที่ 1 แล้ว ในปี พ.ศ. 2519 จะเริ่มต้นบรรทัดที่ 1 จุดที่ 193 ในจำนวนบรรทัดและจุดที่เท่า ๆ กันทั้งสองปี

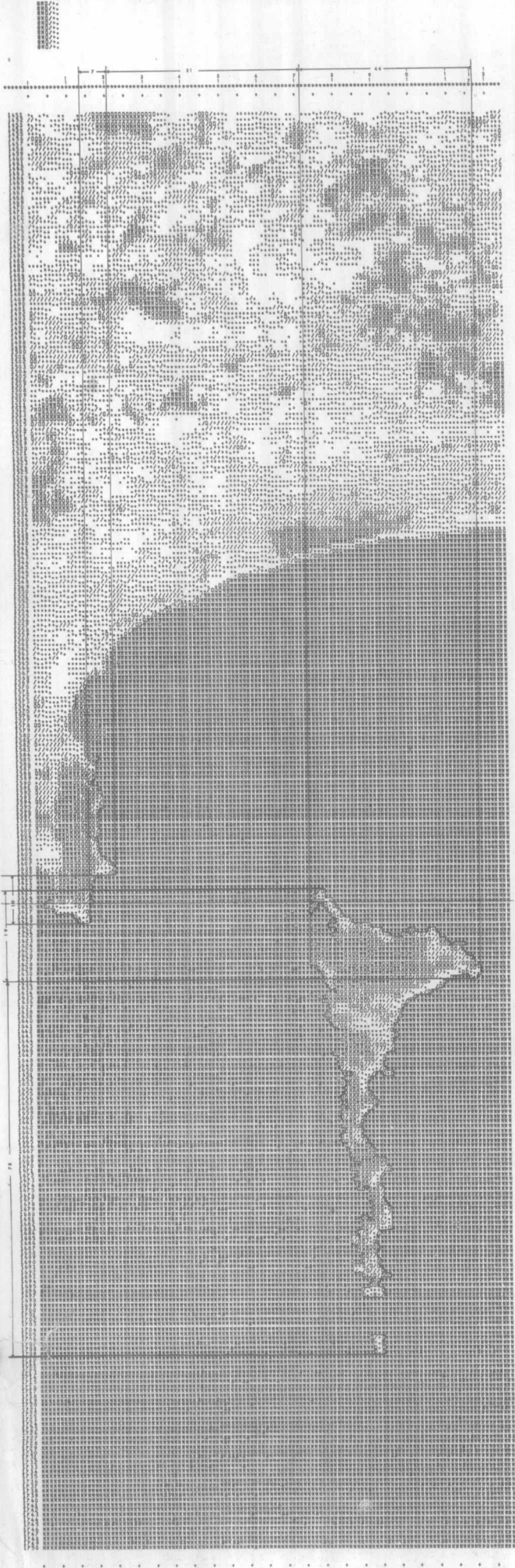
จุดพิกัด ปี พ.ศ.	บรรทัด	จุด
2516	152	1
2519	1	193

ตารางที่ 1 จุดพิกัด พ.ศ. 2516 และ พ.ศ. 2519 ที่ให้รูปซ้อนกันพอดี



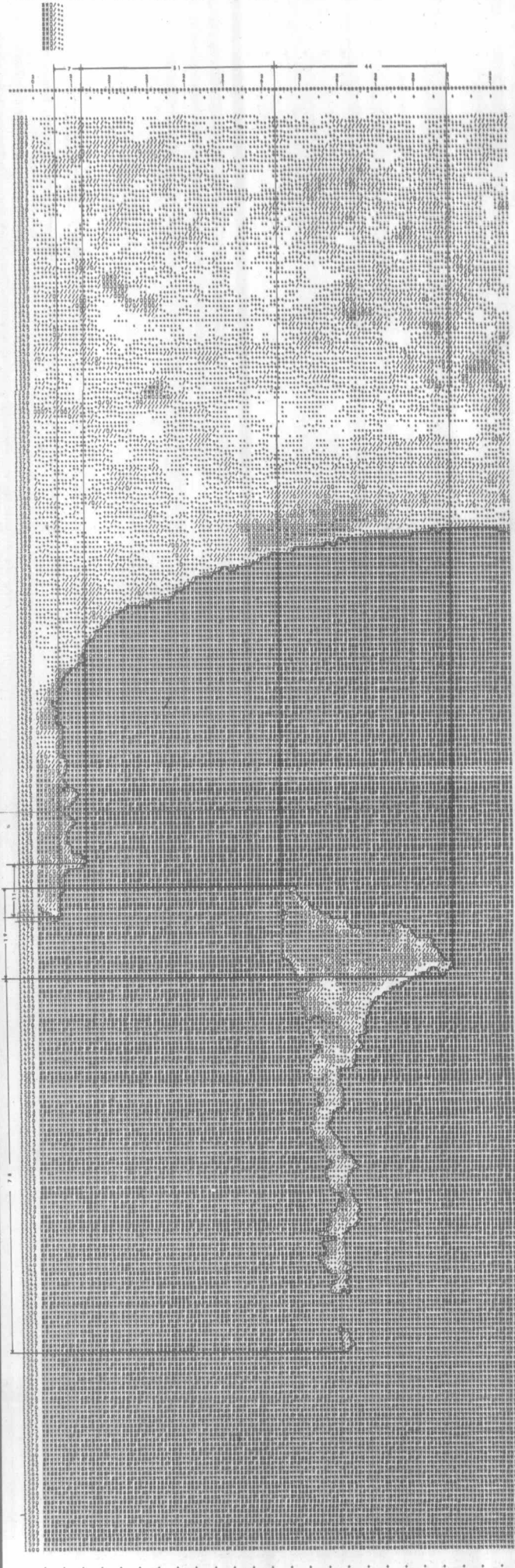
รูปที่ 15 Densitometry Plot บรรทัดที่ 1540 ของข้อมูลปี พ.ศ. 2516

CU-LEONALS
 LANDSAT INTERACTIVE GRAYMAP AND LEVEL SLICE SYSTEM
 PROJECT SIGNALS 7 LEVEL LINE PRINTER GRAY MAP
 LEVEL SLICE CONSTANT 100. 15. 20. 25. 30. 35.
 SCANNING C 012-58/C101-04 N 012-97/E101-00 SUN EL41 AZ136 180-2120-14-0- NASA ERTS C-2107-03070-7



VIDEO COMPLETION TERMINATED AT LINE 0 AFTER 300 LINES WERE PROCESSED

CU-LEONALS
 LANDSAT INTERACTIVE GRAYMAP AND LEVEL SLICE SYSTEM
 PROJECT SIGNALS 7 LEVEL LINE PRINTER GRAY MAP
 LEVEL SLICE CONSTANT 100. 15. 20. 25. 30. 35.
 SCANNING C 012-58/C101-04 N 012-97/E101-00 SUN EL41 AZ136 180-2120-14-0- NASA ERTS C-2107-03070-7



VIDEO COMPLETION TERMINATED AT LINE 0 AFTER 300 LINES WERE PROCESSED

รูปที่ 16 Gray Map แบนด์ 5 บริเวณที่ใช้เป็น Bench Mark

ปี พ.ศ. 2516 และปี พ.ศ. 2519

เมื่อได้ค่าจุดพิกัดตั้งกล่าวแล้ว จึงทำ gray map แบนด์ 5 และแบนด์ 7 ซึ่งเลือกขึ้นมาในการศึกษาและวิเคราะห์ ของทั้งสองปีอีกครั้งหนึ่ง แต่เป็น gray map ของพื้นที่ทั้งหมดที่ต้องการศึกษา และจะเป็นบริเวณเดียวกันทั้งสองปี โดยทำทุกบรรทัดเว้นบรรทัดและทุกจุดเว้นจุด ดังแสดงในรูปที่ 17, 18, 19 และ 20 gray map ที่ได้นี้จะนำมาช่วยในการวิเคราะห์และจำแนกภาพต่อไป

การเลือกประเภทข้อมูล (Training Class)

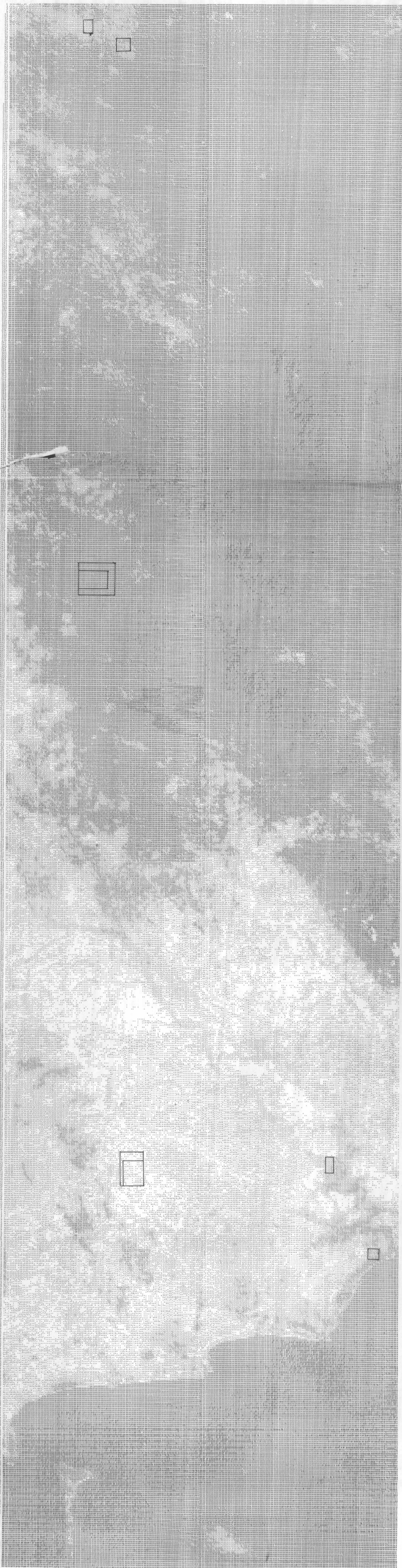
ดังได้กล่าวไว้แล้วในบทที่ 2 ถึงลักษณะป่าไม้ทางภาคตะวันออกเฉียงและประเภทข้อมูลที่จะใช้ในการจำแนกภาพ ซึ่งมีรายละเอียดดังแสดงในตารางที่ 2

ชื่อภาษาไทย	ชื่อภาษาอังกฤษ	อักษรย่อ ที่ใช้ในโปรแกรม	สัญลักษณ์ ที่ใช้ในโปรแกรม
ป่าทึบ	Dense Forest	D-FRS	D
ป่าชายเลน	Mangrove	MGROW	/
ทะเล	Sea or Water	WATER	W
อื่น ๆ	Other	OTHER	blank
ป่าทำลาย	Cut Forest	C-FRS	.

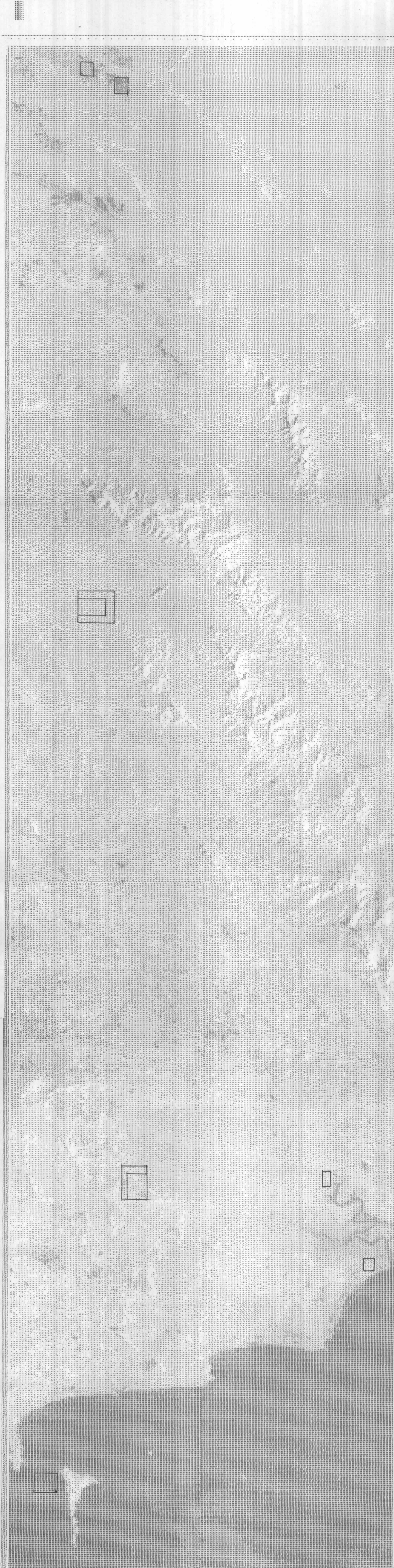
ตารางที่ 2 ประเภทข้อมูลที่จำแนกภาพ และสัญลักษณ์ที่ใช้ในโปรแกรม

การเลือก training class ของข้อมูลเหล่านี้ทำได้โดยการนำเอา gray map ของแบนด์ 5 และแบนด์ 7 ที่ได้มาพิจารณาประกอบกับแผนที่ภาพถ่ายดาวเทียมหรือภาพถ่ายดาวเทียมสีผสมเป็นต้น เพื่อหาพื้นที่ของประเภทข้อมูลที่ต้องการจำแนก แล้วเขียนกรอบสี่เหลี่ยมผืนผ้าเล็ก ๆ (training area) ลงในพื้นที่แต่ละประเภทให้ตรงกันทั้งสองแบนด์ในแต่ละปี โดยที่ข้อมูลที่อยู่ภายในกรอบสี่เหลี่ยมผืนผ้านี้จะเป็นตัวแทนของข้อมูลประเภทต่าง ๆ ที่ต้องการนั่นเอง ตามรูปที่ 17-20 อันเป็นภาพ gray map แบนด์ 5 และแบนด์ 7 ของปี พ.ศ.

CA-120485
LANDSAT INTERACTIVE GRAYMAP AND LEVEL SLICE SYSTEM
7 LEVEL LINE PLOTTER GRAY MAP
LEVEL SLICE PLOTTER
18 JAN 76 C 012-54/100-57 010-051 N 012-56/101-04 300 0110 011 015 0-7 NASA LANDSAT C-2 101-02525



CP-LEDMALS
LANDSAT INTERACTIVE GRAYMAP AND LEVEL SLICE SYSTEM
POLYMER 13000000 7 LEVEL LINE PRINTER GRAY MAP
FILE NO. 13000000 7 LEVEL LINE PRINTER GRAY MAP
IN JANU C 112-51/100-57 1118-051 N 112-51/100-54
SUN ELIP 031 583-0-7 BASS LANDSAT C-2 341-02503



TERMINATION TERMINATED AT LINE ***** AFTER 789 LINES WERE PROCESSED

2516 และปี พ.ศ. 2519 ได้ตั้ง training area ของข้อมูลแต่ละประเภทไว้ ซึ่งมีทำเลที่ตั้งโดยสังเขปดังนี้

training area ของ ป่าทึบ	บริเวณที่ราบสูงในจังหวัดชลบุรี
" " ป่าทาลาย	บริเวณตอนบนในจังหวัดฉะเชิงเทรา
" " ป่าชายเลน	บริเวณตอนล่างของจังหวัดระยอง ใกล้ปากแม่น้ำประแสร์
" " ทะเล	บริเวณตอนล่างของปลายแหลมทศานุภาค ใกล้เกาะเสม็ด
" " อื่น ๆ	บริเวณที่ราบเพาะปลูกในจังหวัดระยอง

ในการกำหนดคุณลักษณะของแต่ละ training class ว่าแตกต่างกันอย่างไรนั้น จะแสดงได้ด้วยค่าสถิติที่ประมาณได้จาก training area อันเป็นตัวแทนของ training class นั้นเอง ค่าประมาณ (estimated value) ของสถิติที่สำคัญ ๆ ประกอบด้วยค่า ดังนี้คือ

mean vector

covariance matrix

inverse matrix และ determinant ของ covariance matrix

ค่าสถิติดังกล่าวของประเภทข้อมูลทั้ง 5 ที่คำนวณได้จากแหล่งข้อมูลของปี พ.ศ. 2516 และปี พ.ศ. 2519 ได้แสดงไว้ในรูปที่ 21 และ 22 ตามลำดับ และเพื่อเป็นการตรวจสอบความเชื่อถือได้ของค่าสถิติเหล่านี้ก่อนนำไปจำแนกข้อมูล จึงได้ทำ Histogram Plot ของทุก ๆ training class ออกมา (รูปที่ 23 และ 24) เพื่อดูการกระจายของข้อมูลในแต่ละ training class ว่าเป็น Normal Distribution หรือไม่ หากไม่ใช่ก็ต้องแก้ไขโดยเลือก training area นั้น ๆ เสียใหม่

นอกจากนี้ ยังมีการสังเกตภาพของค่าเฉลี่ย และค่าเบี่ยงเบนมาตรฐาน เพื่อดูการเบี่ยงเบนของข้อมูลทั้งสองแบบคี่ของแต่ละ training area ว่ามีการทับกัน (over lap) หรือไม่ หากมีการทับกันในแบบคี่ใดแบบคี่หนึ่ง ข้อมูลนั้นยังใช้ได้ หากทับกันทั้งสองแบบคี่ก็ต้อง

* READY TO PROCEED
 REWINDING INPUT TAPE * STAND BY

2	2	4	5	5
FRSD	FRSD	OTHER	MG	DC
170	200	2	121	131
760	772	2	75	97
1340	1350	2	153	175
1392	1402	2	465	473
1576	1586	2	43	61

STATISTICS

C=FRS

SUMX	TPTS	SUMXY
544.	36	8248.
552.	36	8338. 8496.

MEAN VECTOR	COVARIANCE MATRIX
15.11111	0.78730
15.33333	-0.09524 0.91429

INVERSE MATRIX

1.28637	
0.13400	1.10771

IDENTITY MATRIX

1.00000	
0.00000	1.00000

DET = 0.71075

D=FRS

SUMX	TPTS	SUMXY
924.	84	10226.
1456.	84	16061. 25396.

MEAN VECTOR	COVARIANCE MATRIX
11.00000	0.74699
17.33333	0.54217 1.91165

INVERSE MATRIX

1.68571	
-0.47809	0.65870

IDENTITY MATRIX

1.00000	
0.00000	1.00000

DET = 1.13403

SUMX	TPTS	SUMXY
2259.	72	77901.
1584.	72	50749. 35256.

MEAN VECTOR	COVARIANCE MATRIX
31.37500 22.00000	98.94190 14.80282 5.74648

INVERSE MATRIX
0.01644 -0.04236 0.28314

IDENTITY MATRIX
1.00000 0.00000 1.00000

DET = 349.44418

MGDVE

SUMX	TPTS	SUMXY
395.	30	5241.
360.	30	4723. 4432.

MEAN VECTOR	COVARIANCE MATRIX
13.16667 12.00000	1.38506 -0.58621 3.86207

INVERSE MATRIX
0.77156 0.11711 0.27670

IDENTITY MATRIX
1.00000 0.00000 1.00000

DET = 5.00555

WATER

SUMX	TPTS	SUMXY
519.	60	4502.
16.	60	141. 16.

MEAN VECTOR	COVARIANCE MATRIX
8.63333 0.26667	0.50735 0.04859 0.19887

INVERSE MATRIX
2.01827 -0.49310 5.14888

IDENTITY MATRIX
1.00000 0.00000 1.00000

DET = 0.09854

* READY TO PROCEED
 REWINDING INPUT TAPE * STAND BY

2 2 4 5 5
 *FRSD*FRSOTHERMGOVEWATER
 17 29 2 285 295 2
 569 585 2 281 317 2
 1159 1183 2 345 369 2
 1247 1255 2 655 667 2
 1469 1487 2 225 249 2

STATISTICS

C=FRS

SUMX	TPTS	SUMXY
919. 487.	42 42	20245. 10674. 5727.

MEAN VECTOR	COVARIANCE MATRIX
21.88095 11.59524	3.32695 0.43846 1.95412

INVERSE MATRIX

0.30973 *0.06950 0.92733

IDENTITY MATRIX

1.00000 0.00000 1.00000

DET = 6.30903

D=FRS

SUMX	TPTS	SUMXY
2469. 2895.	171 171	35715. 41824. 49213.

MEAN VECTOR	COVARIANCE MATRIX
14.43860 16.92982	0.38886 0.14273 1.18328

INVERSE MATRIX

2.69076 *0.32456 0.88426

IDENTITY MATRIX

1.00000 0.00000 1.00000

DET = 0.43976

OTHER		
SUMX	TPTS	SUMXY
5543. 3151.	169 169	186425. 105299. 60523.
MEAN VECTOR		COVARIANCE MATRIX
32.79932 18.64497		27.50690 11.60673 10.55178
INVERSE MATRIX		
0.06784 -0.07463 0.17686		
IDENTITY MATRIX		
1.00000 0.00000 1.00000		
DET = 155.53069		
MGOVE		
SUMX	TPTS	SUMXY
687. 463.	35 35	13519. 9059. 6203.
MEAN VECTOR		COVARIANCE MATRIX
19.62857 13.22857		1.00506 -0.85378 2.29916
INVERSE MATRIX		
1.45346 0.53973 0.63537		
IDENTITY MATRIX		
1.00000 -0.00000 1.00000		
DET = 1.58185		
WATER		
SUMX	TPTS	SUMXY
1612. 84.	130 130	20074. 1054. 84.
MEAN VECTOR		COVARIANCE MATRIX
12.40000 0.64615		0.66047 0.09612 0.23041
INVERSE MATRIX		
1.61196 -0.67248 4.62061		
IDENTITY MATRIX		
1.00000 0.00000 1.00000		
DET = 0.14294		

* SIGNALS HISTOGRAM PLOT

TOTAL # OF POINTS USED= 36. TOTAL # OF POINTS OUT OF RANGE 0.

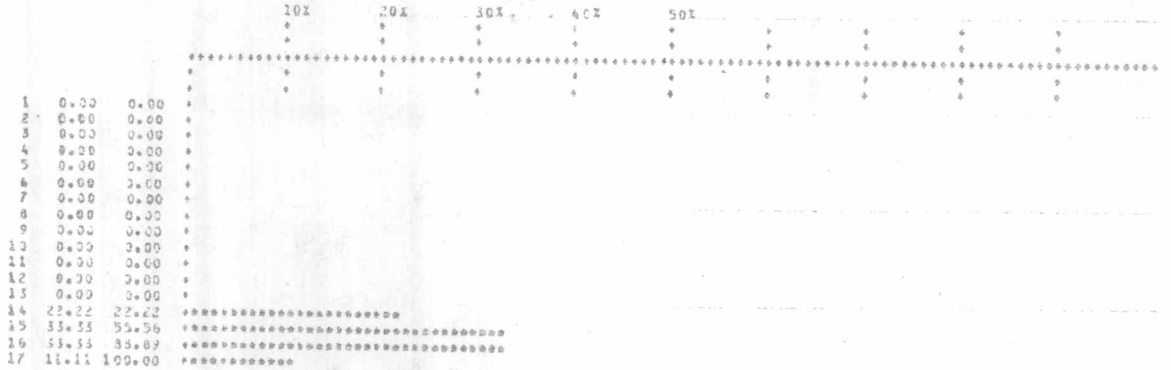
VALUE PCNT CUM. PCNT



* SIGNALS HISTOGRAM PLOT

TOTAL # OF POINTS USED= 35. TOTAL # OF POINTS OUT OF RANGE 0.

VALUE PCNT CUM. PCNT



* SIGNALS HISTOGRAM PLOT

TOTAL # OF POINTS USED= 84. TOTAL # OF POINTS OUT OF RANGE 0.

VALUE PCNT CUM. PCNT



* SIGNALS HISTOGRAM PLOT

TOTAL # OF POINTS USED= 84. TOTAL # OF POINTS OUT OF RANGE 0.

VALUE POINT CUM. POINT

VALUE	POINT	CUM. POINT
1	0.00	0.00
2	0.00	0.00
3	0.00	0.00
4	0.00	0.00
5	0.00	0.00
6	0.00	0.00
7	0.00	0.00
8	0.00	0.00
9	0.00	0.00
10	0.00	0.00
11	0.00	0.00
12	0.00	0.00
13	0.00	0.00
14	3.97	3.97
15	1.19	5.16
16	27.18	32.34
17	19.05	51.39
18	28.57	79.96
19	16.67	96.63
20	2.58	99.21
21	1.19	100.00

D*FRS CHANNEL # 4

TOTAL # OF POINTS USED= 30. TOTAL # OF POINTS OUT OF RANGE 0.

VALUE POINT CUM. POINT

VALUE	POINT	CUM. POINT
1	0.00	0.00
2	3.00	3.00
3	0.00	3.00
4	3.00	6.00
5	3.00	9.00
6	3.00	12.00
7	3.00	15.00
8	3.00	18.00
9	0.00	18.00
10	3.00	21.00
11	0.00	21.00
12	40.00	61.00
13	20.00	81.00
14	20.57	101.57
15	10.00	111.57
16	3.33	115.00

HAGGV CHANNEL # 2

TOTAL # OF POINTS USED= 30. TOTAL # OF POINTS OUT OF RANGE 0.

VALUE POINT CUM. POINT

VALUE	POINT	CUM. POINT
1	0.00	0.00
2	0.00	0.00
3	0.00	0.00
4	0.00	0.00
5	0.00	0.00
6	0.00	0.00
7	0.00	0.00
8	6.67	6.67
9	3.33	10.00
10	13.33	23.33
11	16.67	40.00
12	13.33	53.33
13	23.33	76.67
14	13.33	90.00
15	10.00	100.00

HAGGV CHANNEL # 4

SIGNALS HISTOGRAM PLOT

AL # OF POINTS USED= 72.

TOTAL # OF POINTS OUT OF RANGE 0.

VALUE POINT CUR. PCNT

VALUE	POINT	CUR. PCNT	101	201	301	401	501	601	701	801	901	1001
1	0.00	0.00	*	*	*	*	*	*	*	*	*	*
2	0.00	0.00	*	*	*	*	*	*	*	*	*	*
3	0.00	0.00	*	*	*	*	*	*	*	*	*	*
4	0.00	0.00	*	*	*	*	*	*	*	*	*	*
5	0.00	0.00	*	*	*	*	*	*	*	*	*	*
6	0.00	0.00	*	*	*	*	*	*	*	*	*	*
7	0.00	0.00	*	*	*	*	*	*	*	*	*	*
8	0.00	0.00	*	*	*	*	*	*	*	*	*	*
9	0.00	0.00	*	*	*	*	*	*	*	*	*	*
10	0.00	0.00	*	*	*	*	*	*	*	*	*	*
11	0.00	0.00	*	*	*	*	*	*	*	*	*	*
12	0.00	0.00	*	*	*	*	*	*	*	*	*	*
13	0.00	0.00	*	*	*	*	*	*	*	*	*	*
14	0.00	0.00	*	*	*	*	*	*	*	*	*	*
15	0.00	0.00	*	*	*	*	*	*	*	*	*	*
16	0.00	0.00	*	*	*	*	*	*	*	*	*	*
17	0.00	0.00	*	*	*	*	*	*	*	*	*	*
18	2.78	2.78	***									
19	4.17	6.94	*****									
20	1.39	8.33	**									
21	1.39	9.72	*									
22	5.56	15.28	*****									
23	2.78	18.06	**									
24	1.39	19.44	*									
25	6.94	26.39	*****									
26	4.17	30.56	****									
27	11.11	41.67	*****									
28	2.78	44.44	**									
29	6.94	51.39	*****									
30	3.53	55.72	*****									
31	9.72	65.44	*****									
32	0.00	69.44	*									
33	5.56	75.00	*****									
34	2.78	77.78	**									
35	0.00	77.78	*									
36	0.00	77.78	*									
37	1.39	79.17	*									
38	0.00	79.17	*									
39	4.17	83.33	****									
40	1.39	84.72	**									
41	0.00	84.72	*									
42	1.39	86.11	**									
43	0.00	86.11	*									
44	0.00	86.11	*									
45	1.39	87.50	**									
46	0.00	87.50	*									
47	5.56	93.06	*****									
48	2.78	95.83	**									
49	0.00	95.83	*									
50	0.00	95.83	*									
51	0.00	95.83	*									
52	0.00	95.83	*									
53	0.00	95.83	*									
54	0.00	95.83	*									
55	0.00	95.83	*									
56	0.00	95.83	*									
57	0.00	95.83	*									
58	1.39	97.22	**									

STIMUL CHANNEL # 2

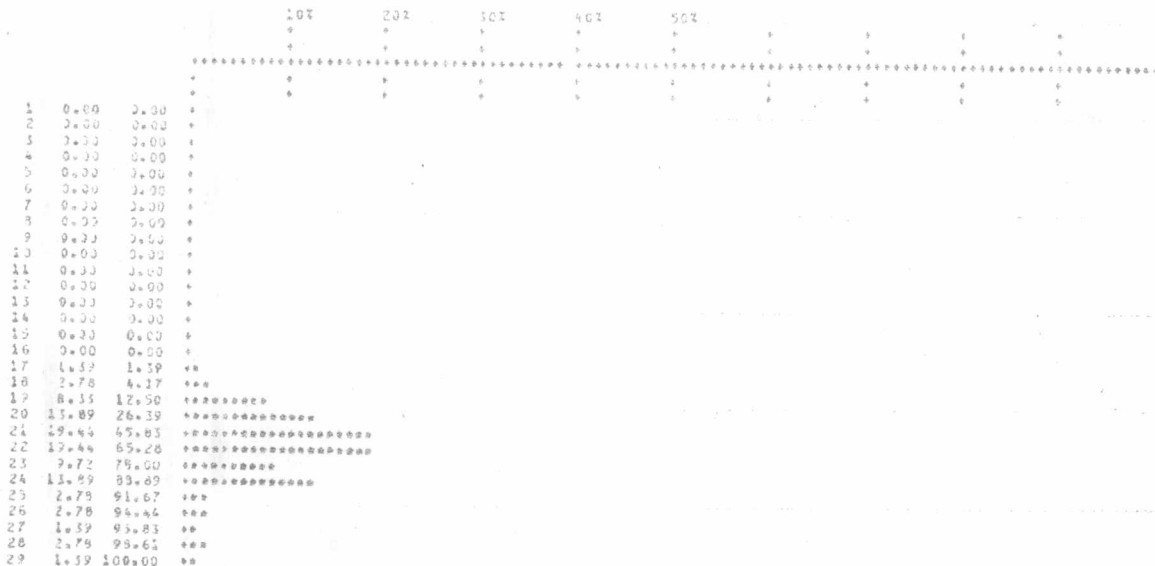
รูปที่ 23 (ต่อ) Histogram Plot ของ Training Class ทั้ง 5 ปี พ.ศ. 2516

* SIGNALS HISTOGRAM PLOT

TOTAL # OF POINTS USED= 72.

TOTAL # OF POINTS OUT OF RANGE = 0.

VALUE PCNT CUM. PCNT



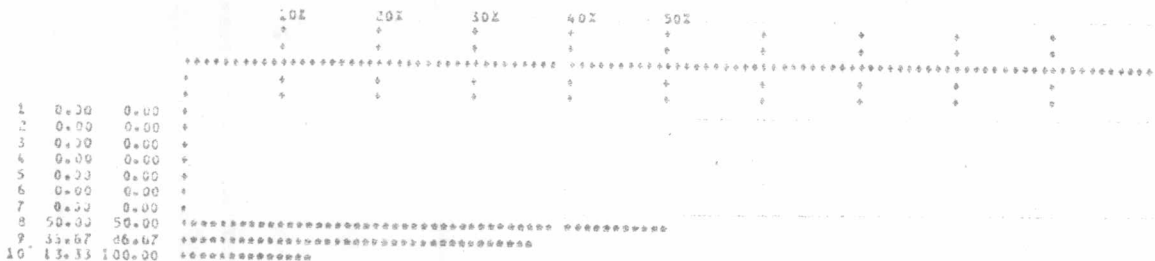
OTHER CHANNEL # 4

* SIGNALS HISTOGRAM PLOT

TOTAL # OF POINTS USED= 60.

TOTAL # OF POINTS OUT OF RANGE = 0.

VALUE PCNT CUM. PCNT



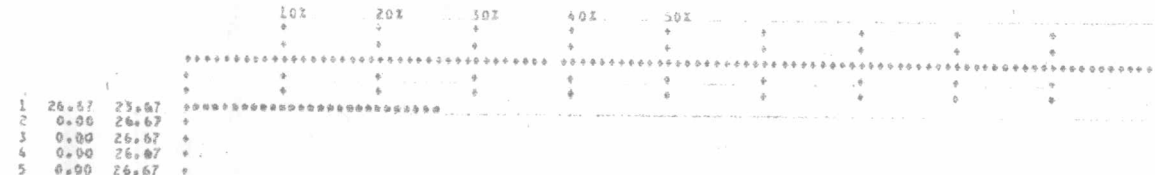
WATER CHANNEL # 2

* SIGNALS HISTOGRAM PLOT

TOTAL # OF POINTS USED= 60.

TOTAL # OF POINTS OUT OF RANGE = 44.

VALUE PCNT CUM. PCNT



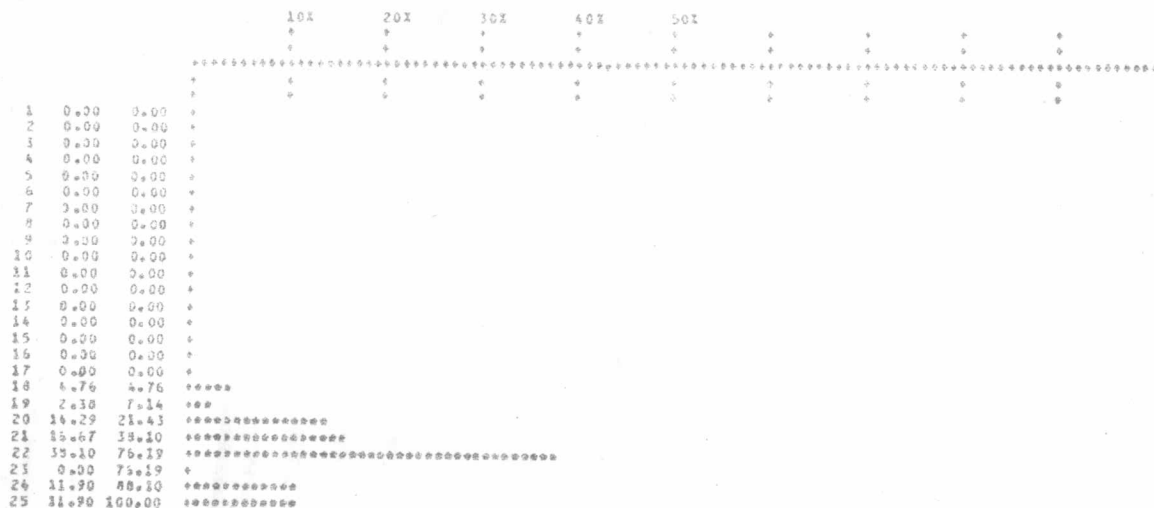
WATER CHANNEL # 4

* PLOT COMPLETED.

* SIGNALS HISTOGRAM PLOT

TOTAL # OF POINTS USED= 62. TOTAL # OF POINTS OUT OF RANGE 0.

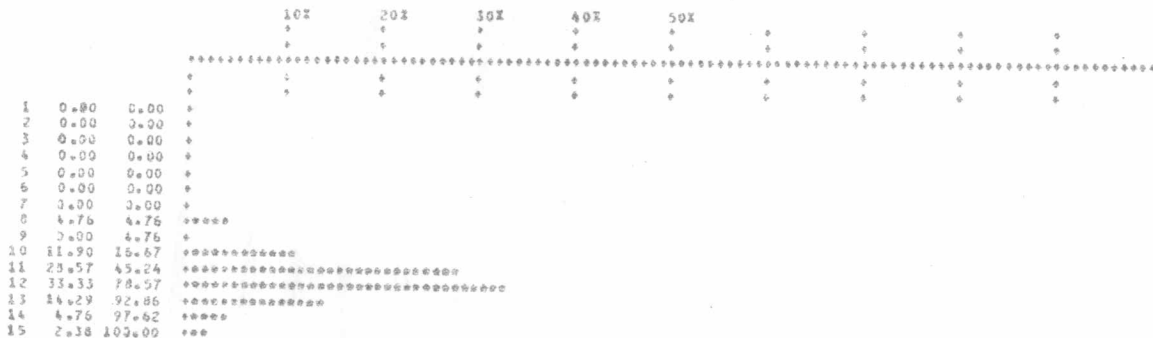
VALUE PCNT CUM. PCNT



C=FRS CHANNEL # 2

TOTAL # OF POINTS USED= 62. TOTAL # OF POINTS OUT OF RANGE 0.

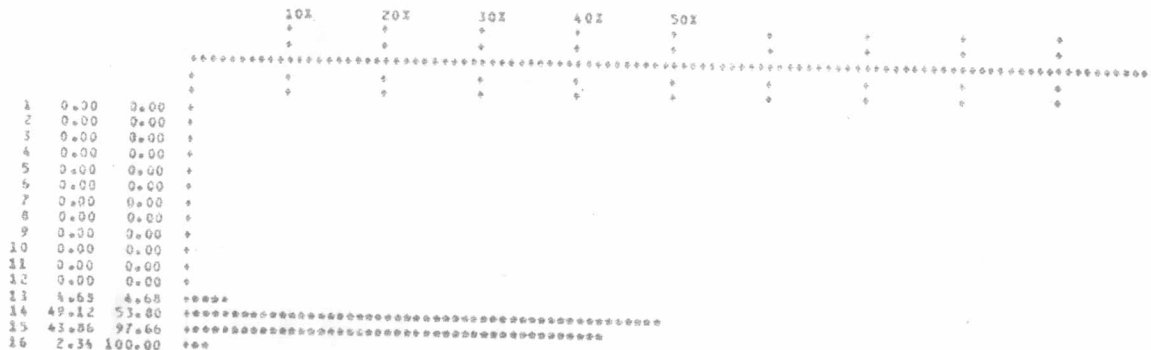
VALUE PCNT CUM. PCNT



C=FRS CHANNEL # 4

TOTAL # OF POINTS USED= 171. TOTAL # OF POINTS OUT OF RANGE 0.

VALUE PCNT CUM. PCNT

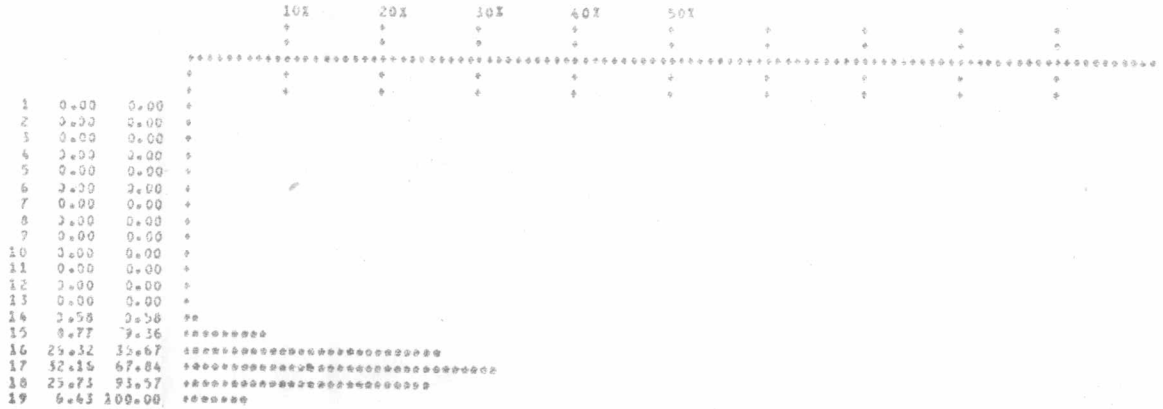


D=FRS CHANNEL # 2

* SIGNALS HISTOGRAM PLOT

TOTAL # OF POINTS USED= 171. TOTAL # OF POINTS OUT OF RANGE 0.

VALUE PCNT CUM. PCNT

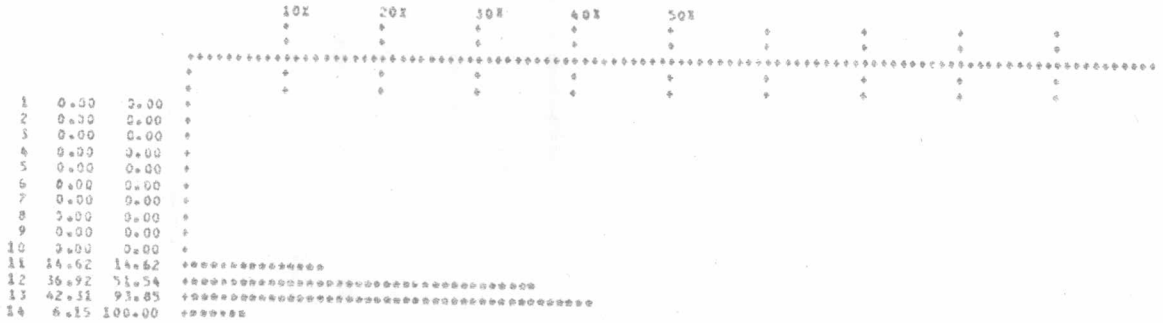


D-FRS CHANNEL # 4

* SIGNALS HISTOGRAM PLOT

TOTAL # OF POINTS USED= 130. TOTAL # OF POINTS OUT OF RANGE 0.

VALUE PCNT CUM. PCNT

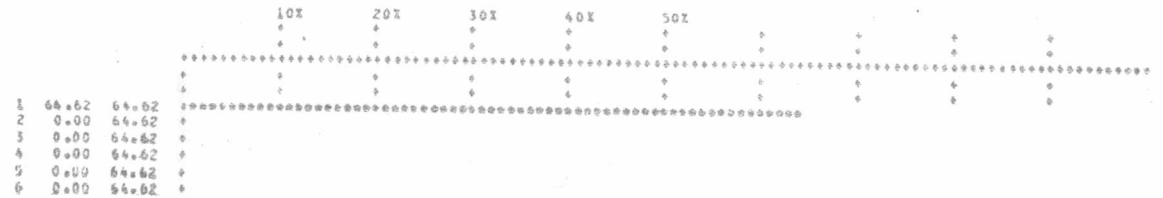


WATER CHANNEL # 2

* SIGNALS HISTOGRAM PLOT

TOTAL # OF POINTS USED= 130. TOTAL # OF POINTS OUT OF RANGE 49.

VALUE PCNT CUM. PCNT



WATER CHANNEL # 4

* SIGNALS HISTOGRAM PLOT

TOTAL # OF POINTS USED= 159. TOTAL # OF POINTS OUT OF RANGE 0.

VALUE PCNT CUR. PCNT

VALUE	PCNT	CUR. PCNT	10X	20X	30X	40X	50X
1	0.00	0.00	*	*	*	*	*
2	0.00	0.00	*	*	*	*	*
3	0.00	0.00	*	*	*	*	*
4	0.00	0.00	*	*	*	*	*
5	0.00	0.00	*	*	*	*	*
6	0.00	0.00	*	*	*	*	*
7	0.00	0.00	*	*	*	*	*
8	0.00	0.00	*	*	*	*	*
9	0.00	0.00	*	*	*	*	*
10	0.00	0.00	*	*	*	*	*
11	0.00	0.00	*	*	*	*	*
12	0.00	0.00	*	*	*	*	*
13	0.00	0.00	*	*	*	*	*
14	0.00	0.00	*	*	*	*	*
15	0.00	0.00	*	*	*	*	*
16	0.00	0.00	*	*	*	*	*
17	0.00	0.00	*	*	*	*	*
18	0.00	0.00	*	*	*	*	*
19	0.00	0.00	*	*	*	*	*
20	0.00	0.00	*	*	*	*	*
21	0.00	0.00	*	*	*	*	*
22	0.00	0.00	*	*	*	*	*
23	0.00	0.00	*	*	*	*	*
24	1.18	1.18	**	**	**	**	**
25	2.37	3.55	***	***	***	***	***
26	7.69	11.24	*****	*****	*****	*****	*****
27	4.14	15.38	****	****	****	****	****
28	7.10	22.49	*****	*****	*****	*****	*****
29	8.28	30.77	*****	*****	*****	*****	*****
30	3.92	34.69	****	****	****	****	****
31	10.06	44.75	*****	*****	*****	*****	*****
32	10.96	55.80	*****	*****	*****	*****	*****
33	5.33	62.13	****	****	****	****	****
34	4.14	66.27	****	****	****	****	****
35	7.10	73.37	*****	*****	*****	*****	*****
36	1.78	75.15	**	**	**	**	**
37	4.73	79.88	****	****	****	****	****
38	2.37	82.25	**	**	**	**	**
39	5.33	87.57	****	****	****	****	****
40	1.78	89.35	**	**	**	**	**
41	3.55	92.90	****	****	****	****	****
42	1.78	94.67	**	**	**	**	**
43	1.78	96.45	**	**	**	**	**
44	0.00	96.45	*	*	*	*	*
45	2.37	98.82	***	***	***	***	***
46	1.18	100.00	**	**	**	**	**

OTHER CHANNEL # 2

* SIGNALS HISTOGRAM PLOT

TOTAL # OF POINTS USED= 159. TOTAL # OF POINTS OUT OF RANGE 0.

VALUE PCNT CUR. PCNT

VALUE	PCNT	CUR. PCNT	10X	20X	30X	40X	50X
1	0.00	0.00	*	*	*	*	*
2	0.00	0.00	*	*	*	*	*
3	0.00	0.00	*	*	*	*	*
4	0.00	0.00	*	*	*	*	*
5	0.00	0.00	*	*	*	*	*
6	0.00	0.00	*	*	*	*	*
7	0.00	0.00	*	*	*	*	*
8	0.00	0.00	*	*	*	*	*
9	0.00	0.00	*	*	*	*	*
10	1.18	1.18	**	**	**	**	**
11	2.37	3.55	***	***	***	***	***
12	1.78	5.33	**	**	**	**	**
13	1.18	6.51	**	**	**	**	**
14	5.33	11.83	*****	*****	*****	*****	*****
15	4.73	16.57	****	****	****	****	****
16	8.28	24.85	*****	*****	*****	*****	*****
17	2.96	27.81	***	***	***	***	***
18	11.61	39.42	*****	*****	*****	*****	*****
19	14.79	54.21	*****	*****	*****	*****	*****
20	17.75	71.96	*****	*****	*****	*****	*****
21	11.24	83.21	*****	*****	*****	*****	*****
22	7.10	90.31	****	****	****	****	****
23	2.96	93.27	**	**	**	**	**
24	1.78	95.04	**	**	**	**	**
25	1.18	96.22	**	**	**	**	**
26	0.59	96.82	**	**	**	**	**
27	0.59	97.41	**	**	**	**	**

OTHER CHANNEL # 6

* SIGNALS HISTOGRAM PLOT

TOTAL # OF POINTS USED= 35. TOTAL # OF POINTS OUT OF RANGE 0.

VALUE PCNT CUM. PCNT

VALUE	PCNT	CUM. PCNT	10%	20%	30%	40%	50%
1	0.00	0.00	*	*	*	*	*
2	0.00	0.00	*	*	*	*	*
3	0.00	0.00	*	*	*	*	*
4	0.00	0.00	*	*	*	*	*
5	0.00	0.00	*	*	*	*	*
6	0.00	0.00	*	*	*	*	*
7	0.00	0.00	*	*	*	*	*
8	0.00	0.00	*	*	*	*	*
9	0.00	0.00	*	*	*	*	*
10	0.00	0.00	*	*	*	*	*
11	0.00	0.00	*	*	*	*	*
12	0.00	0.00	*	*	*	*	*
13	0.00	0.00	*	*	*	*	*
14	0.00	0.00	*	*	*	*	*
15	0.00	0.00	*	*	*	*	*
16	0.00	0.00	*	*	*	*	*
17	0.00	0.00	*	*	*	*	*
18	14.29	14.29	*****	*****	*****	*****	*****
19	28.57	42.86	*****	*****	*****	*****	*****
20	42.86	85.71	*****	*****	*****	*****	*****
21	57.14	97.14	*****	*****	*****	*****	*****
22	71.43	100.00	***	***	***	***	***

HGDVE CHANNEL # 2

* SIGNALS HISTOGRAM PLOT

TOTAL # OF POINTS USED= 35. TOTAL # OF POINTS OUT OF RANGE 0.

VALUE PCNT CUM. PCNT

VALUE	PCNT	CUM. PCNT	10%	20%	30%	40%	50%
1	0.00	0.00	*	*	*	*	*
2	0.00	0.00	*	*	*	*	*
3	0.00	0.00	*	*	*	*	*
4	0.00	0.00	*	*	*	*	*
5	0.00	0.00	*	*	*	*	*
6	0.00	0.00	*	*	*	*	*
7	0.00	0.00	*	*	*	*	*
8	0.00	0.00	*	*	*	*	*
9	0.00	0.00	*	*	*	*	*
10	0.00	0.00	*	*	*	*	*
11	14.29	14.29	*****	*****	*****	*****	*****
12	28.57	28.57	*****	*****	*****	*****	*****
13	42.86	42.86	*****	*****	*****	*****	*****
14	57.14	57.14	*****	*****	*****	*****	*****
15	71.43	71.43	*****	*****	*****	*****	*****
16	85.71	85.71	*****	*****	*****	*****	*****

HGDVE CHANNEL # 4

* PLOT COMPLETED.

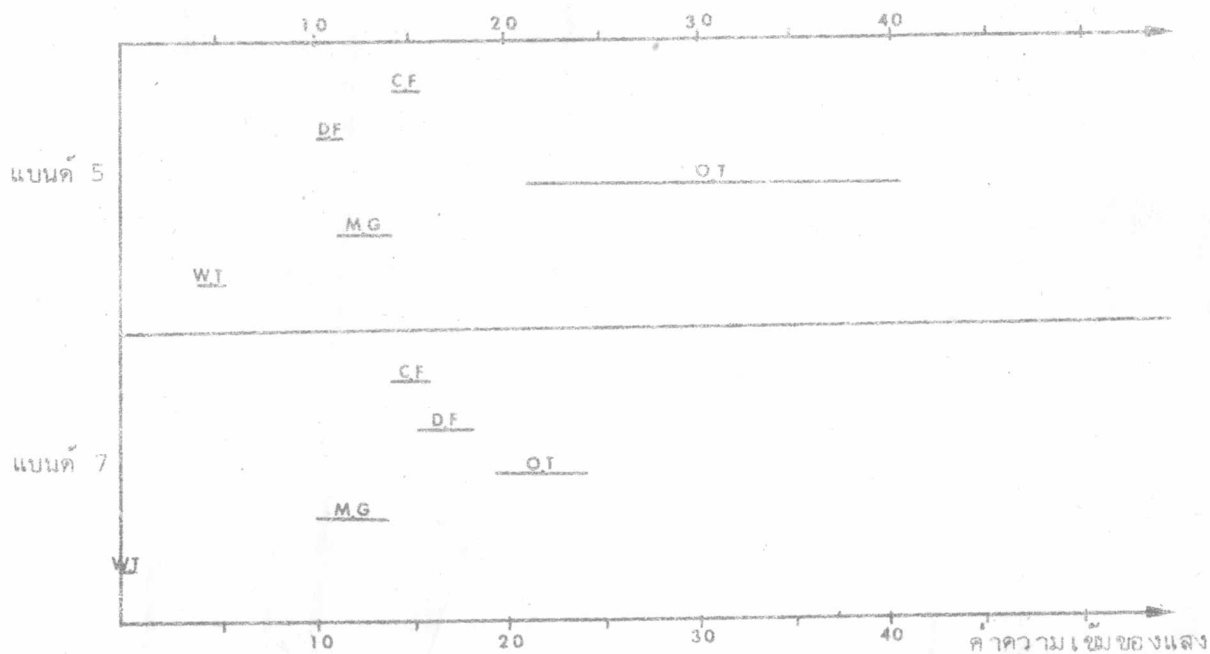
ดูว่าทับกันมากน้อยเพียงไร ถ้าทับกันมากหรือเป็น subset กัน ก็อาจต้องรวมข้อมูลเป็นประเภทเดียวกัน หรือถ้าทับกันน้อยก็อาจต้องเลือก training area ใหม่ แล้วแต่กรณีที่เหมาะสม รูปที่ 25 แสดงการเบี่ยงเบนข้อมูลของทุก training class ในปี พ.ศ. 2516 โดยใช้ค่าเบี่ยงเบนมาตรฐานเท่ากับ 1 จะเห็นว่าค่าเบี่ยงเบนของป่าทำลาย กับ ป่าดิบ ทับกันเล็กน้อยในแบนด์ 7 แต่ไม่ทับกันเลยในแบนด์ 5 ส่วนค่าเบี่ยงเบนของป่าทำลาย กับ ป่าชายเลนทับกันเล็กน้อยในแบนด์ 5 แต่ไม่ทับกันเลยในแบนด์ 7 ส่วนรูปที่ 26 แสดงการเบี่ยงเบนข้อมูลของทุก training class ในปี พ.ศ. 2519 โดยใช้ค่าเบี่ยงเบนมาตรฐานเท่ากับ 1 เช่นเดียวกัน มีข้อที่น่าสังเกตคือ ค่าเบี่ยงเบนของป่าทำลายกับป่าชายเลนทับกันทั้งสองแบนด์ แม้จะได้ทำ training area ใหม่แล้วก็ตาม ซึ่งจะได้อธิบายถึงสาเหตุต่อไป

เพื่อให้เห็นถึงการเบี่ยงเบนและการกระจายข้อมูลได้ชัดเจนยิ่งขึ้น จึงได้สกัดภาพการกระจายข้อมูลภาคตัดขวาง แบนด์ 5 และ 7 ของ training area ทั้ง 5 โดยที่การกระจายของข้อมูลจะแทนได้ด้วยสมการ¹ ดังนี้

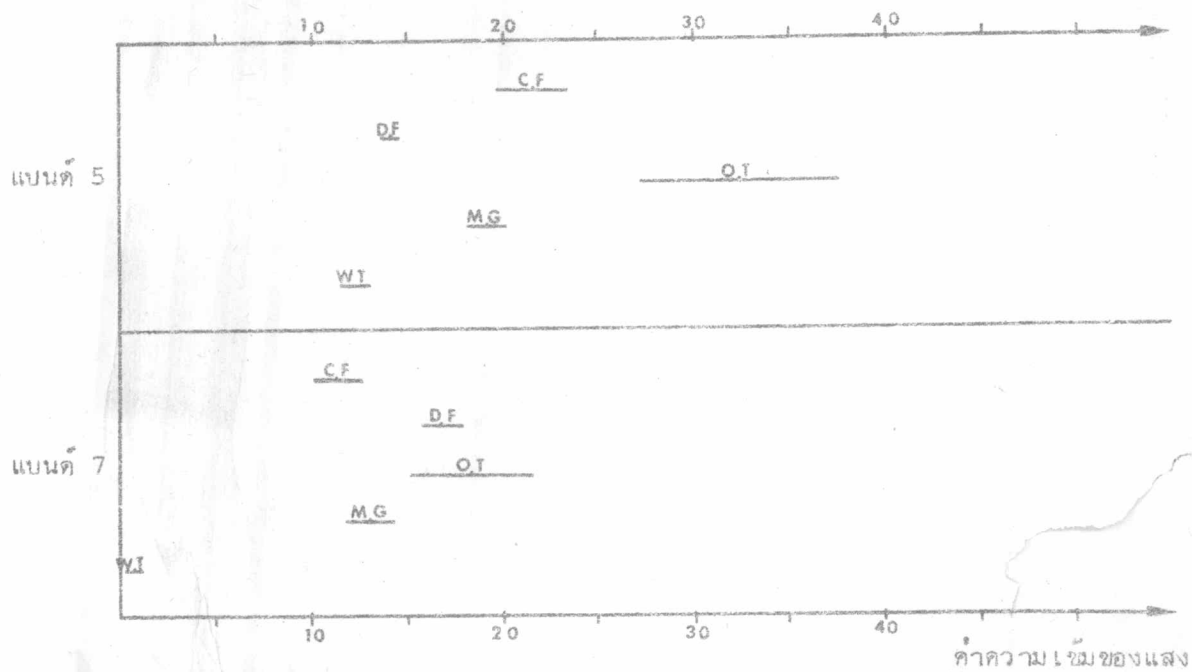
$$(x-\mu)^t \Sigma^{-1} (x-\mu) = c \quad ; \quad c \text{ คือค่าคงที่}$$

ภาพที่ได้จากสมการกำลังสอง (Quadratic form) นี้ของสองแบนด์ จะมีลักษณะเป็น ellipsoids ที่มีจุดศูนย์กลางอยู่ที่ค่า mean vector (ดูวิธีการคำนวณในภาคผนวก ก) ในรูปที่ 27 และ 28 สกัดภาพข้อมูลแบนด์ 5 และแบนด์ 7 โดยใช้ค่าเบี่ยงเบนมาตรฐานเท่ากับ 1 ในรูปที่ 28 จะเห็นได้ชัดว่า การกระจายข้อมูลของป่าทำลาย และป่าชายเลนนั้น มีบางส่วนที่ทับกัน ทั้งนี้ เนื่องจากค่าเฉลี่ย อันเป็นจุดศูนย์กลางของทั้งสองใกล้เคียงกันมาก แม้ว่าจะได้ทดลองเปลี่ยน training area เพื่อหาค่าสถิติใหม่ แต่ก็ยังให้ภาพที่ทับกันอยู่ ซึ่งแสดงให้เห็นว่า คุณสมบัติของข้อมูลทั้งสองประเภทนี้ใกล้เคียงกันมาก ทั้งที่ตามประเภท

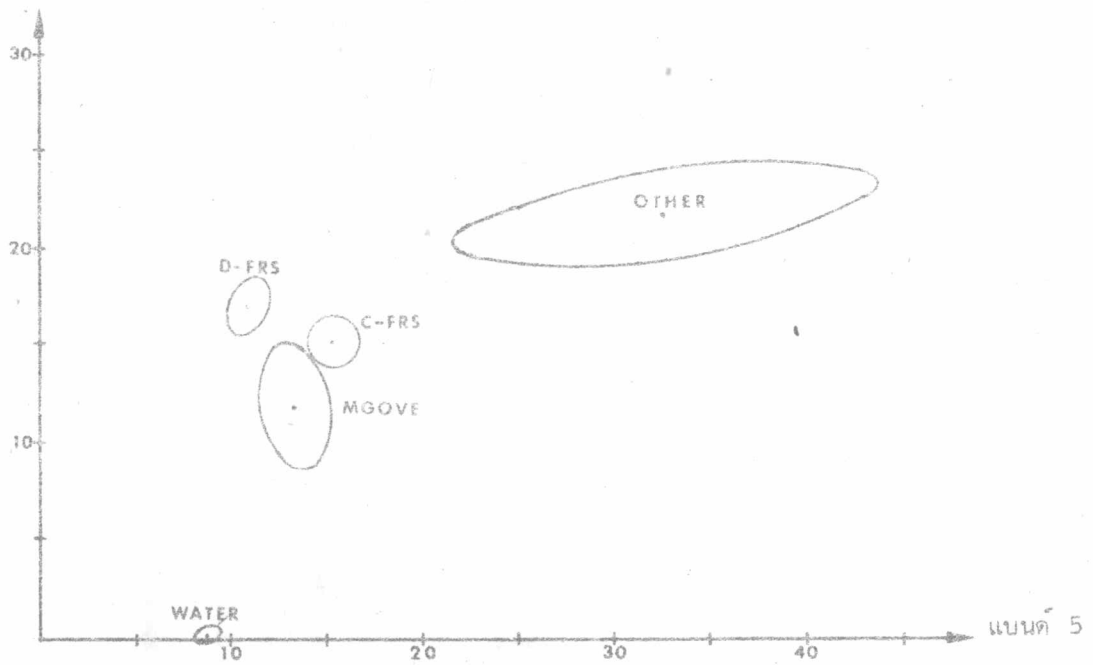
¹R.O. Duda and P.E. Hart, Pattern Recognition and Scene Analysis, (New York : John Wiley and Sons, 1973), p. 24.



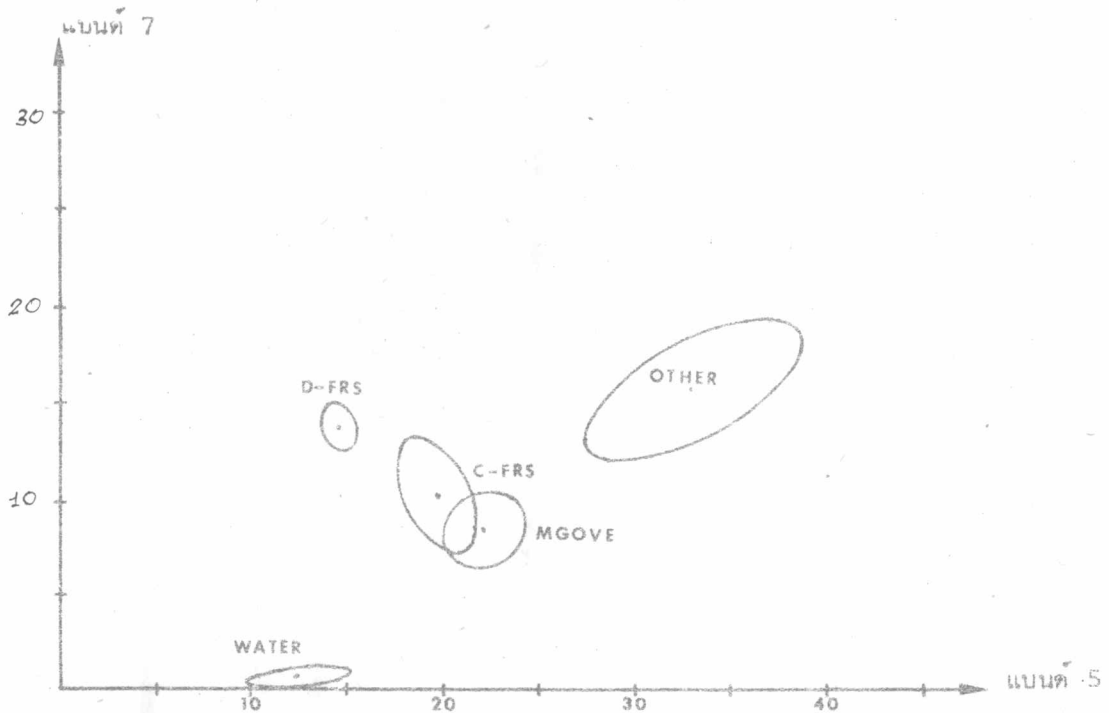
รูปที่ 25 การเรียงเบนจากค่าเฉลี่ย ของ Training Class ทั้ง 5 ปี พ.ศ. 2516 โดยใช้ค่าเรียงเบนมาตรฐานเท่ากับ 1



รูปที่ 26 การเรียงเบนจากค่าเฉลี่ย ของ Training Class ทั้ง 5 ปี พ.ศ. 2519 เมื่อใช้ค่าเรียงเบนมาตรฐานเท่ากับ 1



รูปที่ 27 การกระจายข้อมูล ของ Training Class ทั้ง 5 ปี พ.ศ. 2516
โดยใช้ค่าเบี่ยงเบนมาตรฐานเท่ากับ 1



รูปที่ 28 การกระจายข้อมูล ของ Training Class ทั้ง 5 ปี พ.ศ. 2519
โดยใช้ค่าเบี่ยงเบนมาตรฐานเท่ากับ 1

ข้อมูลแล้วน่าจะแตกต่างกันโดยสิ้นเชิง

และยังได้คำนวณค่า divergence ซึ่งเป็นค่าที่ใช้วัดความแตกต่าง (dissimilarity) ระหว่าง class และจะแสดงให้เห็นถึงความสามารถในการจำแนกข้อมูล (โดยทางอ้อม) ได้อีกด้วย การคำนวณค่า divergence ระหว่าง class 2 class จะคำนวณโดยใช้สูตรทั่วไปสำหรับ 2 density function ใด ๆ ในกรณีของตัวแปรปกติ (normal variable) ที่มี covariance matrix ไม่เท่ากัน ซึ่งแสดงได้ด้วยสมการ¹ ดังนี้

$$D(i, j | c_1, \dots, c_n) = \frac{1}{2} \text{tr} (\Sigma_i - \Sigma_j) (\Sigma_j^{-1} - \Sigma_i^{-1}) \\ + \frac{1}{2} \text{tr} (\Sigma_i^{-1} + \Sigma_j^{-1}) (\mu_i - \mu_j) (\mu_i - \mu_j)^t$$

ในที่นี้ c_1, \dots, c_n คือ channel ที่ต้องการ

และ $\text{tr } A$ (trace A) คือผลบวกของ diagonal elements ของ A

i และ j คือ class 2 class ใด ๆ ที่จะหาค่า divergence

สำหรับข้อมูลในปี พ.ศ. 2516 นั้น ค่า divergence ระหว่าง class ที่เป็นป่าทำลายและป่าชายเลนจาก channel ที่ 2 และ 4 โดยคำนวณจากค่าสถิติต่าง ๆ ของ class ทั้งสองตามที่ปรากฏในรูปที่ 21 ได้ค่าดังนี้คือ

$$D(i, j / c_2, c_4) = 14.5795$$

สำหรับข้อมูลในปี พ.ศ. 2519 ค่า divergence ที่คำนวณจากค่าสถิติของ class ทั้งสอง ตามที่ปรากฏในรูปที่ 22 ได้ค่าดังนี้คือ

$$D(i, j / c_2, c_4) = 5.6814$$

เพื่อเปรียบเทียบให้เห็นว่าค่า divergence ที่คำนวณได้ของทั้งสองปีนี้มีค่าน้อยมาก จึงได้คำนวณค่า divergence ของ 2 class อื่นที่มีคุณลักษณะแตกต่างกันอย่างเห็น

¹ Philip H. Swain and John C. Lindenlaur, "Pattern Recognition: A Basis for Remote Sensing Data Analysis," Remote Sensing Technology and Applications (Indiana: Purdue University, July 31, August 11, 1972): 60.

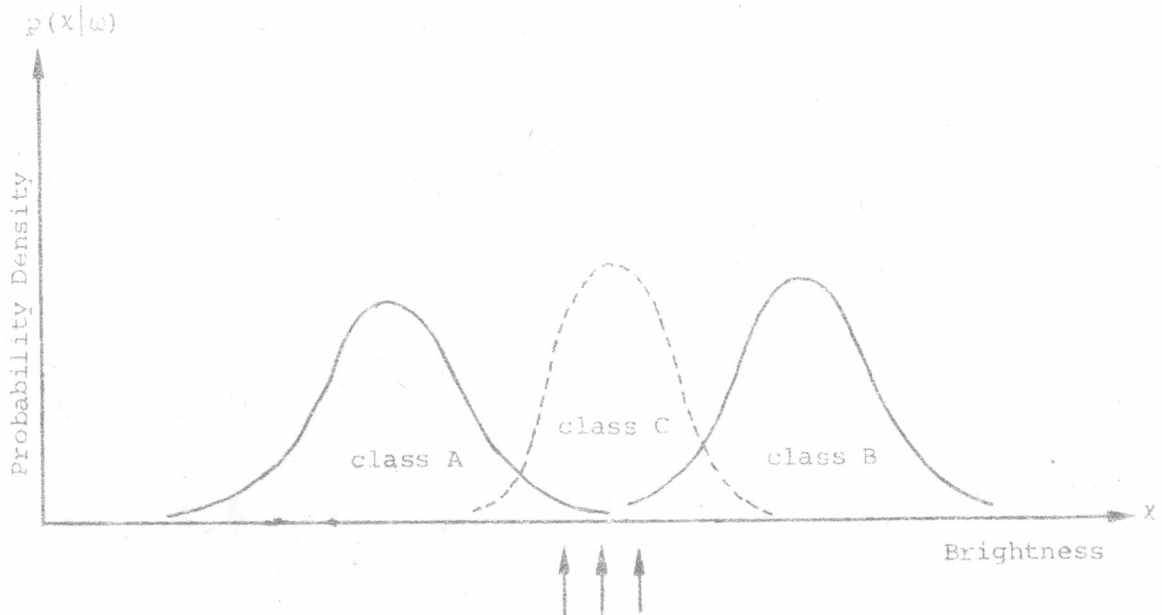
ได้ชัด เช่น ระหว่างป่าชายเลนกับทะเล ซึ่งคำนวณได้โดยวิธีเดียวกันได้ค่าในปี พ.ศ. 2516 เท่ากับ 746.0608 และในปี พ.ศ. 2519 เท่ากับ 323.1349 จึงแสดงให้เห็นว่า class ป่าชายเลนกับป่าทำลายนั้นใกล้เคียงกันมากทั้งสองปี จะเห็นว่าในรูปที่ 27 ขอบเขต (boundary) ของป่าชายเลน กับป่าทำลายอยู่เกือบชิดกัน ส่วนรูปที่ 28 นั้น ขอบเขตทั้งสองทับกันเล็กน้อย

การจำแนกภาพ (Classification)

ในการจำแนกภาพนั้นขั้นตอนหนึ่งที่จะขาดเสียไม่ได้ก็คือ การลองจำแนกภาพ (preclassify) ว่าได้ผลตามต้องการหรือไม่ เพื่อตรวจสอบความถูกต้องของการจำแนกภาพอีกชั้นหนึ่ง หากยังมีข้อบกพร่องหรือมีสิ่งใดผิดสังเกต ก็ต้องแก้ไขปรับปรุงค่าสถิติเสียก่อน เช่น เลือก training area ใหม่ จนกว่าจะได้ผลเป็นที่น่าพอใจ แล้วจึงนำค่าประมาณเหล่านั้นไปใช้จำแนกภาพกับข้อมูลทั้งหมด

1. ผลการจำแนกภาพ ปี พ.ศ. 2516

เดิมได้ลองจำแนกภาพโดยใช้ข้อมูลเพียง 4 ประเภท คือ ป่าทึบ ป่าชายเลน ทะเล และอื่น ๆ ในการจำแนกภาพ ได้ลองจำแนกภาพดูหลายแห่งแต่ยังไม่ได้ผลตามที่ต้องการ เช่น การลองจำแนกภาพบริเวณตอนบนของพื้นที่ที่ศึกษา คือ ตั้งแต่บรรทัดที่ 152-200 และจุดที่ 1-250 ทุกบรรทัดเว้นบรรทัด และทุกจุดเว้นจุด ผลปรากฏว่ามีหลายจุดที่ถูกจำแนกให้เป็นป่าชายเลนทั้งที่ในบริเวณนี้ไม่น่าจะมีป่าชายเลนอยู่เลย จึงได้เพิ่มประเภทข้อมูลขึ้นอีกคือ ป่าทำลาย ได้ผลการจำแนกภาพดีขึ้น โดยผลเกือบจะเป็นป่าทำลายล้วน จากรูปที่ 29 แสดงให้เห็นว่าการกระจายข้อมูลของ training class A และ B นั้นอยู่ห่างกันเกินไป จึงทำให้การจำแนกภาพข้อมูลที่อยู่ระหว่าง class ทั้งสอง (แนวศรชี้) จะมีโอกาสผิดได้ไม่ว่าจะจำแนกให้เป็น class A หรือ B หากเพิ่ม class C (เส้นประ) ขึ้นมาระหว่าง class A และ B จะช่วยให้การจำแนกภาพได้ผลดียิ่งขึ้น



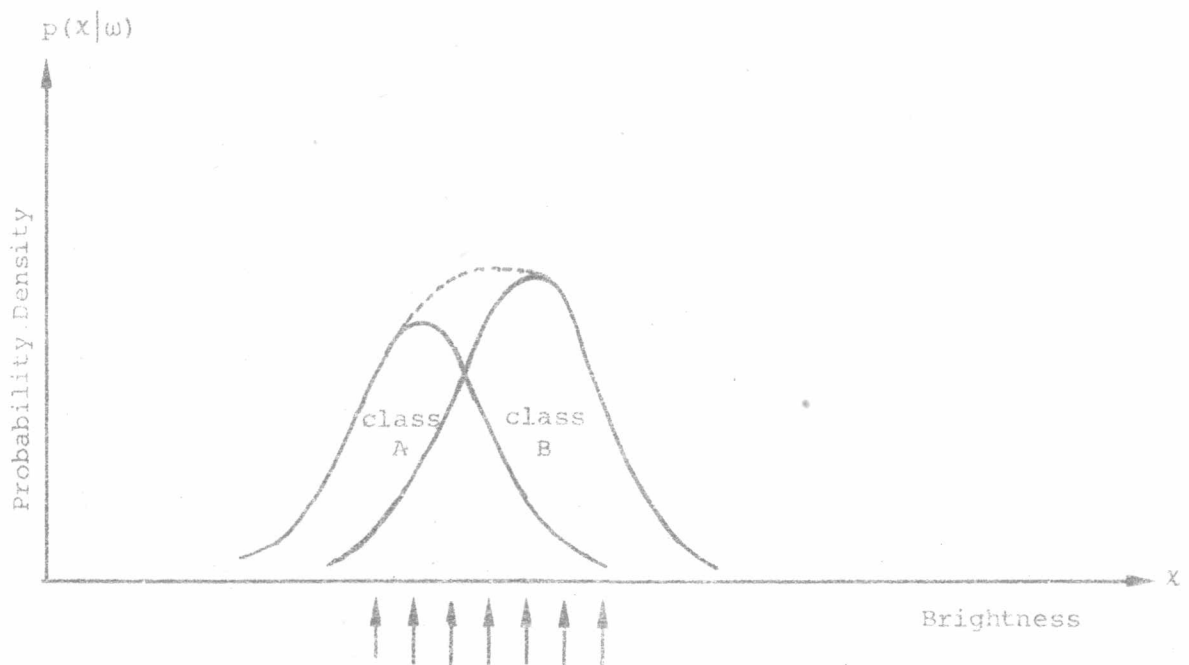
รูปที่ 29 แสดงการกระจายข้อมูล ของ Training Class ที่อยู่ห่างกัน

และในรูปที่ 31 แสดงภาพเปรียบเทียบผลการจำแนกภาพเมื่อใช้ข้อมูล 4 และ 5 ประเภท นอกจากนี้ยังได้ลองจำแนกภาพด้วยข้อมูล 5 ประเภทในบริเวณอื่น ๆ ดูบ้าง เช่น บริเวณทะเล และบริเวณป่าชายเลน ก็ให้ผลเป็นที่น่าพอใจ จึงใช้ข้อมูลทั้ง 5 ประเภทนี้ในการจำแนกภาพทั้งหมด ดังได้แสดงผลการจำแนกภาพในรูปที่ 33 จะเห็นว่าทางด้านขวาของภาพยาวตลอด ลงมาจนถึงตอนกลางภาพ พื้นที่ส่วนใหญ่ยังเป็นป่าอยู่ ทางด้านซ้ายของภาพมักจะเป็นพื้นที่แนวถางและท่าล่าย ส่วนตอนล่างจะเป็นพื้นที่อื่น ๆ เช่น พื้นที่เพาะปลูก ท่าสวน เป็นต้น

2. ผลการจำแนกภาพ ปี พ.ศ. 2519

ได้ใช้ประเภทข้อมูลใน ปี พ.ศ. 2516 เป็นบรรทัดฐานทั้ง 5 ประเภท เมื่อหาค่าสถิติต่าง ๆ ได้แล้วลองจำแนกภาพในบริเวณตอนบนของพื้นที่ที่ศึกษาเช่นเดียวกับ ปี พ.ศ. 2516 คือบรรทัดที่ 1-50 และจุดที่ 193-442 บรรทัด เว้นบรรทัดและจุดเว้นจุด พบว่ายังมี การจำแนกภาพคละกันอยู่ระหว่างป่าชายเลนและป่าท่าล่าย แม้ว่าจะทดลองหาค่าสถิติของ ข้อมูลทั้งสองใหม่ โดยยึดหลักว่าให้ข้อมูลทั้งสองนี้ทับกันน้อยที่สุด แต่ผลจากการลองจำแนก

ภาพก็ยังให้ผลละกันอยู่อีก ทั้งนี้ก็ด้วยเหตุผลอันเนื่องมาจากว่าข้อมูลทั้งสองมีคุณลักษณะใกล้เคียงกันดังได้กล่าวมาแล้วนั่นเอง แต่ตามประเภทข้อมูลแล้วทั้งสองน่าจะแตกต่างกันโดยสิ้นเชิง จึงมิได้รวมเข้ามาอยู่ในประเภทเดียวกัน นอกจากนี้ยังได้ลองจำแนกภาพในบริเวณอื่น ๆ อีก เช่น บริเวณที่มีป่าชายเลน ก็ให้ผลละกันเช่นเดียวกัน รูปที่ 30 แสดงให้เห็นถึงการกระจายข้อมูลของ training class ที่อยู่ใกล้กันมากจึงทำให้การจำแนกภาพข้อมูลที่อยู่ระหว่าง class ทั้งสอง (แนวทแยง) เกิดความผิดพลาดได้ ไม่ว่าจะจำแนกให้เป็น class A หรือ B หากทั้งสองเป็น class ที่คล้ายคลึงกัน เช่น ข้าวโพดกับข้าวฝ้าง ก็สามารถรวมกันเป็น class เดียวกันได้ (แนวเส้นประ) แต่การจำแนกภาพในปี พ.ศ. 2519 นี้ ป่าชายเลนกับป่าทาลาย ไม่จัดว่าอยู่ในประเภทเดียวกัน จึงมิได้รวมกันเข้ามา



รูปที่ 30 การกระจายข้อมูลของ Training Class ที่อยู่ใกล้กัน

ท้ายสุดจึงตัดสินใจแบ่งพื้นที่การศึกษาออกเป็น 2 ส่วน คือ ส่วนที่มีป่าชายเลน และส่วนที่ไม่มีป่าชายเลน ส่วนแรกจะใช้ข้อมูล 4 ประเภท คือ ป่าดิบ ป่าชายเลน ทะเล และอื่น ๆ ในการจำแนกอีกส่วนหนึ่งก็จะใช้ข้อมูล 4 ประเภทเช่นเดียวกัน แต่เป็นป่าดิบ ป่าทาลาย ทะเล

และอื่น ๆ อันเป็นการใช้ a priori knowledge มาช่วยในการจำแนกภาพ (ดูการเปรียบเทียบผลการจำแนกภาพต่าง ๆ ในรูปที่ 32) จากรูปที่ 32 นี้ จะเห็นได้ว่าในบริเวณป่าทำลายซึ่งมีป่าชายเลนปนอยู่ด้วย เป็นจำนวนมากเมื่อจำแนกภาพโดยใช้ข้อมูลทั้ง 5 ประเภท ก็อบจะเป็นป่าทำลายล้วน เมื่อใช้ข้อมูลในการจำแนกภาพเพียง 4 ประเภท ผลการจำแนกภาพทั้งหมดได้แสดงไว้ในรูปที่ 34 ส่วนที่แยกใช้ข้อมูลป่าชายเลน คือ บรรทัดที่ 1371-1600 จุดที่ 193-442 และบรรทัดที่ 1091-1600 จุดที่ 443-692 โดยเป็นบรรทัดเว้นบรรทัด และจุดเว้นจุด จะเห็นว่าทางด้านขวาของภาพยาวตลอดลงมาจนถึงตอนกลางภาพยังเป็นพื้นที่ป่าอยู่ แต่พื้นที่รอบนอกลดลงเนื่องจากถูกถูกรุกแผ้วถางเข้ามาอย่างเห็นได้ชัด (เมื่อเปรียบเทียบกับรูปที่ 33) ส่วนทางด้านซ้ายและตอนล่างของภาพก็เช่นเดียวกัน เป็นพื้นที่ที่ถูกแผ้วถางทำลายและอื่น ๆ เข้าไปในบริเวณที่เคยเป็นป่ามากขึ้น

การคำนวณหาการเปลี่ยนแปลงเนื้อที่ป่าไม้ระหว่าง ปี พ.ศ. 2516 และ พ.ศ. 2519

การคำนวณเนื้อที่ป่าไม้ หรือเนื้อที่อื่นใดที่ต้องการทราบนั้น สามารถทำได้โดยง่าย เพียงแต่ทราบค่าดังต่อไปนี้คือ

1. จำนวนจุด (pixel) ของเนื้อที่ที่ต้องการทราบ ในกรณีนี้สัญลักษณ์ที่ใช้พิมพ์แทนข้อมูลแต่ละประเภทนั้น โปรแกรมจะเป็นผู้นับว่ามีจำนวนเท่าไร
2. ขนาดพื้นที่ต่อ 1 จุด ซึ่งเราทราบว่าแต่ละจุดมีขนาดพื้นที่เท่ากับ 56 x 79 เมตร¹
3. จำนวนจุดที่ใช้แทนต่อ 1 จุด เช่น การจำแนกภาพในวิทยานิพนธ์นี้จำแนกทุกบรรทัดเว้นบรรทัด และทุกจุดเว้นจุด ดังนั้น 1 จุดของการจำแนก จะแทนข้อมูล 4 จุดในเนื้อที่จริง

ผลจากการจำแนกภาพดังรูปที่ 33 และ 34 สามารถคำนวณพื้นที่ของสัญลักษณ์ต่าง ๆ ได้ดังแสดงในตารางที่ 3

¹The Space Division of the General Electric, LANDSAT-3 Reference Manual (1977): 4-40

AERIAL PHOTOGRAPHIC CLASSIFICATION MAP
 CLASSIFIED BY: [illegible]
 DATE: 15/11/66
 SCALE: 1:50,000
 SHEET: 17/20
 CLASSIFICATION CODE: 17/20
 CLASSIFICATION SYSTEM: 2 POINTS
 CLASSIFICATION KEY:
 0 - SEA OR WATER
 1 - DEEP FOREST
 2 - MANGROVE
 3 - CUT FOREST
 4 - OTHER
 CLASSIFYING PURPOSE: TO DETECT FOREST BOUNDARY IN THE EASTERN OF THAILAND
 CLASSIFYING AREA: CHACHENGSAO / CHON BURI / CHANTHABURI / RAYONG
 CLASSIFYING SYMBOLS:
 0 - SEA OR WATER
 1 - DEEP FOREST
 2 - MANGROVE
 3 - CUT FOREST
 4 - OTHER



SUMMARY OF POINT VALUES	AREA OF EACH CHARACTER
0 - SEA OR WATER	189,117.25 KM. SQ.
1 - DEEP FOREST	81,949.71 KM. SQ.
2 - MANGROVE	26,550.00 KM. SQ.
3 - CUT FOREST	110,949.71 KM. SQ.
4 - OTHER	179,612.78 KM. SQ.
TOTAL = 4925 PICTS	4925 PICTS

ประเภทข้อมูล	สัญลักษณ์	พื้นที่				ผลแตกต่าง	
		พ.ศ. 2516		พ.ศ. 2519			
		ตร.กม.	%	ตร.กม.	%	ตร.กม.	%
ทะเล	W	465.56	13.40	456.15	13.14	9.41	2.02
ป่าดิบ	D	1705.40	49.11	1481.07	42.65	224.33	13.15
ป่าชายเลน	/	103.80	2.99	35.16	1.01	68.64	66.12
ป่าทำลาย	.	191.27	5.51	193.54	5.57	-2.27	-1.19
อื่น ๆ	blank	1006.81	28.99	1306.92	37.63	-300.11	-29.81
	Total	3472.84	100.00	3472.84	100.00		

ตารางที่ 3 เนื้อที่และการเปลี่ยนแปลงเนื้อที่ของประเภทข้อมูลทั้ง 5 แบนด์
ในปี พ.ศ. 2516 และ พ.ศ. 2519

จากตารางพื้นที่ป่าไม้ คือ ป่าดิบ ใช้สัญลักษณ์ D

และ ป่าชายเลนใช้สัญลักษณ์ /

ดังนั้นผลจากการจำแนกภาพด้วยเครื่องคอมพิวเตอร์นี้ กล่าวได้ว่าในพื้นที่ที่ทำการ
ศึกษามีเนื้อที่ป่าไม้อยู่ 1809.10 ตร.กม. ในปี พ.ศ. 2516 และในช่วงระยะเวลา 3 ปี
ต่อมา คือในปี พ.ศ. 2519 มีเนื้อที่ป่าเหลืออยู่ 1516.23 ตร.กม. เนื้อที่ป่าลดลงอัน
เนื่องจากการบุกรุกและแผ้วถาง มีจำนวนถึง 292.97 ตร.กม. ซึ่งคิดเป็นอัตราการเปลี่ยนแปลง
เท่ากับ 16.19 %

เปรียบเทียบผลการจำแนกภาพด้วยเครื่องคอมพิวเตอร์กับการแปลภาพด้วยสายตา

ผลจากการแปลภาพด้วยสายตานั้นได้จาก การสำรวจและการศึกษาสภาพการเปลี่ยนแปลงของพื้นที่ป่าไม้ในท้องที่ภาคตะวันออกเฉียง ด้วยภาพถ่ายดาวเทียม¹ โดยกรมป่าไม้ แต่เนื่องจากข้อมูลที่มีอยู่นี้ เป็นข้อมูลของทั้งภาค จึงจำเป็นต้องปรับค่าเหล่านี้เสียใหม่ลงให้เท่ากับพื้นที่ที่ศึกษาด้วยเครื่องคอมพิวเตอร์ โดยยึดผลการแปลภาพด้วยสายตาตั้งกล่าวเป็นบรรทัดฐาน โดยมีขั้นตอนการปฏิบัติดังนี้

1. ตีกรอบพื้นที่ที่ศึกษาด้วยเครื่องคอมพิวเตอร์ในวิทยานิพนธ์นี้ ลงในภาพถ่ายจากดาวเทียม ขาว-ดำ หมายเลขภาพ THAILAND ID 760118-4-7 ขนาดมาตราส่วน 1 : 250,000 โดยคำนวณตำแหน่งจุดพิกัดในภาพถ่ายตามจุดพิกัดของ gray map ปี พ.ศ. 2519 (ดังในตารางที่ 1) จากนั้นตรวจสอบและแก้ไขพื้นที่ที่ลงไว้แล้วในภาพถ่ายกับภาพ gray map ที่มีอยู่ (ตามรูปที่ 17-20) เช่น ดูความเข้มของสี (Tone) ขอบเขตและจุดต่าง ๆ ให้ตรงกัน เพื่อให้ได้พื้นที่ที่ใกล้เคียงกันที่สุด

2. นำแผนที่ที่ได้จากการแปลภาพด้วยสายตาของพื้นที่ป่าไม้ภาคตะวันออกเฉียง ซึ่งมีขนาด 1 : 250,000 เช่นเดียวกัน วางทับลงบนภาพถ่ายจากดาวเทียมที่ลง กรอบพื้นที่เรียบร้อยแล้วตามหัวข้อที่ 1 เปรียบเทียบให้ตรงกัน แล้วเขียนกรอบลงในแผนที่เช่นเดียวกัน

3. ใช้เครื่องมือวัดพื้นที่ (Polar Planimeter) ลากไปตามขอบเขตที่แสดงพื้นที่ป่าไม้ของปี พ.ศ. 2516 และ ปี พ.ศ. 2519 ค่าที่ได้คำนวณเนื้อที่ออกมาเป็น ตร.กม. ก็จะได้เนื้อที่ป่าไม้ที่แปลด้วยสายตาตามต้องการ ผลจากการวัดและคำนวณดังแสดงในตารางที่ 4 โดยที่การวัดเนื้อที่ในแต่ละปีจะวัดไม่น้อยกว่า 3 ครั้ง พื้นที่บางแห่งทำการวัด 5-6 ครั้ง เพื่อให้เป็นที่แน่ใจว่าการวัดนั้นใช้ได้ จากนั้นจึงหาค่าเฉลี่ยออกมาทั้งสองปี นำเนื้อที่ทั้งสองปีมาลบกันจะได้ เป็น เนื้อที่การเปลี่ยนแปลง

¹นายบุญชนะ กลั่นคำสอน และ ธงชัย จารุพัฒน์, "การสำรวจและศึกษาหาความเปลี่ยนแปลงของพื้นที่ป่าไม้ในท้องที่ภาคตะวันออกเฉียงด้วยภาพถ่ายดาวเทียม," หน้า 27.

เนื้อที่ป่าไม้ (ตร.กม.)			การเปลี่ยนแปลงคิดเป็น %
ปี 2516	ปี 2519	เปลี่ยนแปลง	
2046.35	1732.43	313.92	15.34

ตารางที่ 4 เนื้อที่และการเปลี่ยนแปลงเนื้อที่ป่าไม้ระหว่างปี พ.ศ. 2516 และปี พ.ศ. 2519 จากการแปลภาพด้วยสายตา

ผลจากการแปลภาพด้วยสายตานั้น ในปี พ.ศ. 2516 มีเนื้อที่ป่าอยู่ 2046.35 ตร.กม. ส่วนปี พ.ศ. 2519 เนื้อที่ป่าลดลงเหลือ 1732.43 ตร.กม. ซึ่งเป็นผลจากการแผ้วถางทำลายไปถึง 313.92 ตร.กม. เป็นอัตราการเปลี่ยนแปลงเท่ากับ 15.34 %

จะเห็นว่าเนื้อที่ที่ได้จากการแปลภาพด้วยสายตานั้น จะมากกว่าผลที่ได้จากการจำแนกภาพด้วยเครื่องคอมพิวเตอร์ทั้งสองปี รวมถึงเนื้อที่การเปลี่ยนแปลงก็มากกว่าด้วย ทั้งนี้เนื่องจากการวิเคราะห์ด้วยคอมพิวเตอร์นั้นสามารถวิเคราะห์ลงไปได้ถึงระดับจุด (pixel) ว่าแต่ละจุดนั้น ไร่ป่าหรือไม่ แม้แต่จุดที่ต่างกันเพียงเล็กน้อย ซึ่งยากต่อการวิเคราะห์ด้วยสายตา ก็จะบอกความแตกต่างกันได้เมื่อวิเคราะห์ด้วยเครื่องคอมพิวเตอร์ ทำให้กำหนดขอบเขตได้ละเอียดกว่า ดังนั้นหากเนื้อที่ป่าไม้ที่เหลืออยู่นั้นใกล้เคียงกับการวิเคราะห์ด้วยเครื่องคอมพิวเตอร์แล้วก็จะยิ่งเป็นที่น่าวิตกมากขึ้นว่ามีเนื้อที่ป่าที่เหลืออยู่นั้นน้อยกว่าที่เคยทราบกันถึง 216 ตร.กม. หรือ 12.48 %

ดังได้กล่าวมาแล้วในบทที่ .1 ถึงการแปลภาพด้วยสายตาวาจะต้องอาศัยประสบการณ์และความชำนาญเป็นอย่างมากในการแจกแจงความแตกต่างของวัตถุโดยเฉพาะอย่างยิ่งในเรื่องของสี (tone) ความหยาบละเอียด (texture) เงา (shadow) และขนาด (size) การเขียนขอบเขตของข้อมูลแต่ละประเภทจะต้องมีความระมัดระวังมากหากวัตถุที่มีสีใกล้เคียงกันก็ย่อมมีความผิดพลาดได้ง่าย เพราะในขณะที่วัตถุมีความแตกต่างกันถึง 64 ระดับนี้ สายตามนุษย์เราสามารถแจกแจงความแตกต่างได้ประมาณ 16 ระดับเท่านั้น และการเขียนขอบเขตวัตถุขนาดเล็กที่มีไม่ pixel จะทำให้ยากมาก จึงอาจกล่าวได้ว่า

เหล่านี้ เป็นสาเหตุที่ทำให้การแปลภาพด้วยสายตามีเนื้อที่ป่าไม้มากกว่าการจำแนกภาพด้วยเครื่องคอมพิวเตอร์

สถิติการใช้เวลาคอมพิวเตอร์

เวลาคอมพิวเตอร์ในการวิจัยนี้ ส่วนหนึ่งจะใช้ไปในการศึกษาและทดลอง ซึ่งเป็นงานพัฒนาและปรับปรุงโปรแกรมเพื่อให้ปฏิบัติงานได้ตามต้องการ ส่วนเวลาในการปฏิบัติงานจริง (operation) นั้นมากเป็นสองเท่า ทั้งนี้ก็เนื่องมาจากพื้นที่ที่ศึกษานั้นมีขนาดใหญ่ และจำนวนข้อมูล (video data) นั้นมีจำนวนมาก และยังเป็นข้อมูลของสองปีอีกด้วย อย่างไรก็ตามก็ใช้เวลาคอมพิวเตอร์ที่ได้นี้ก็ไ้จากการบันทึกเวลาบน SPO (elapse time) และการทำงานบางอย่างก็มิได้มีการบันทึกเวลา¹ เช่นการบรรจุ (load) ข้อมูลลง disk หรือขึ้นเทป เวลาในการพิมพ์โปรแกรมและผลได้ (output) ต่าง ๆ จาก back up ขึ้นเครื่องพิมพ์ (line printer) อีกทั้งงานศึกษาและทดลองบางครั้งขาดการบันทึก เป็นต้น ดังนั้นเวลาที่แสดงนี้จึงมิใช่เวลาทั้งหมดที่ใช้ในงานวิจัย ซึ่งสามารถสรุปเวลาโดยประมาณของขั้นตอนการทำงานแต่ละโปรแกรม ดังแสดงไว้ในตารางที่ 5

และจากตารางที่ 5 เวลาที่ใช้ไปในการศึกษาและทดลองโดยตลอดประมาณ 13 ชั่วโมง 30 นาที และเวลาในการปฏิบัติงานจริงประมาณ 22 ชั่วโมง 40 นาที เวลาต่าง ๆ ดังกล่าวนี้อาจสรุปเป็นสถิติเวลา (ความเร็ว) ที่น่าสนใจได้ดังตารางที่ 6

สถิติเวลาดังกล่าว ในตารางที่ 5 และที่ 6 นี้ เป็นเวลาการทำงานในขั้นตอนต่าง ๆ ซึ่งแบ่งตามโปรแกรม หากแบ่งตามขั้นตอนการศึกษาและวิเคราะห์ข้อมูลในวิทยานิพนธ์นี้ จะแสดงได้ดังตารางที่ 7

¹ เวลาต่าง ๆ เหล่านี้ ที่มีได้มีการบันทึกเวลานั้นประมาณว่าใช้เวลาไปทั้งหมดประมาณ 20 - 25 ชั่วโมง

ขั้นตอนการทำงาน	ศึกษาและทดลอง						ปฏิบัติงานจริง						ขนาดของพื้นที่ โดยประมาณ
	Compile			Test Run.			Bench Mark			Classification			
	ชม	นท	ว	ชม	นท	ว	ชม	นท	ว	ชม	นท	ว	
Reformatting	1	44	27	1	28	19		40	35	3	26	54	1700l×830p×4b×2y
Data from Tape to Disk		25	26		14	44		17	44	3	40	14	800l×250p×2b×2y
Automatic Level Set		3	13		4	20		8	00		8	17	
Gray Map		5	46		10	55		3	13		34	41	800l×250p×2b×2y
Training Set Analysis		40	56		26	41					33	08	
Histogram		3	21		4	48					11	11	
Classification		54	10	6	57	52				12	58	04	800l×250p×2b×2y
Total	3	57	19	9	27	39	1	08	32	21	32	29	l=line , p=pixel b=band , y=year

ตารางที่ 5 ประมาณการใช้เวลาคอมพิวเตอร์ในกาทำงานแต่ละโปรแกรมในวิทยาณพนธ์นี้

ขั้นตอนการทำงาน	สถิติเวลา	หมายเหตุ ¹
	บรรทัด/นาที	
Reformatting	17	ทุกบรรทัด ทุกจุด ทุกแบนด์ ในแต่ละ Strip
Data from Tape to Disk	34	ทุกบรรทัด ทุกจุด 1 แบนด์ ได้ข้อมูล 1 disk area
	15	ทุกบรรทัดเว้นบรรทัด จุดเว้นจุด 1 แบนด์ ได้ข้อมูลพร้อมกัน 2 disk areas
Gray Map	200	
Classify	5	4 ประเภทข้อมูล 2 แบนด์
	4	5 ประเภทข้อมูล 2 แบนด์
	3.5	5 ประเภทข้อมูล 3 แบนด์
Automatic Level Set	100	บรรทัดเว้นบรรทัด จุดเว้นจุด
Histogram	≈ 1 นาที	} - ต่อ training area ขนาด 60 จุด สำหรับ 2 แบนด์
Training Set Analysis		

ตารางที่ 6 สถิติเวลาการทำงานแต่ละโปรแกรมในวิทยานิพนธ์นี้

¹ ในที่นี้แต่ละบรรทัดจะมีข้อมูล 125 จุด ยกเว้นใน Reformatting ซึ่งในแต่ละบรรทัดจะมีข้อมูลประมาณ 3320 จุด

ขั้นตอนการศึกษาและวิเคราะห์ข้อมูล		เวลา		
		ชม.	นาที	วินาที
1	Reformatting	7	20	15
2	Bench Mark (Coordinating)		28	57
3	DTAP & Normalized Gray Map	5	27	36
4	Statistics (Training Set Analysis & Histogram)	2	00	05
5	Preclassify	7	52	02
6	Classify	12	58	04
Total		36	06	59

ตารางที่ 7 เวลาตามขั้นตอนการศึกษาและวิเคราะห์ข้อมูล

เวลาการปฏิบัติงานในตารางที่ 7 นี้ รวมถึงเวลาในขั้นตอนทดลองและพัฒนาโปรแกรมด้วย ยกเว้น Bench Mark และ Classify ๑ นับเฉพาะเวลาในการปฏิบัติงานจริงเพราะงานทดลองและพัฒนาโปรแกรมต่าง ๆ ถือว่าอยู่ในขั้น Preclassify

ข้อสังเกตจากการวิจัย

ข้อสังเกตนี้ ได้พยายามรวบรวมสิ่งต่าง ๆ ที่น่าสนใจที่ได้ประสบในระหว่างการทำวิจัย ซึ่งอาจรวบรวมไม่ได้ทุกแง่มุม แต่ก็พยายามรวบรวมเท่าที่จะทำได้ มีดังนี้คือ

1. ขนาดของ training area

ขนาดของ training area จะใหญ่หรือเล็ก และมีจำนวนจุดเท่าใดนั้น ขึ้นอยู่

กับประเภทข้อมูลที่เรากำลังศึกษา และลักษณะข้อมูลที่อยู่ในสภาพ gray map เช่น พื้นที่ป่าชายเลนใน gray map นั้นมีขอบเขตค่อนข้างเล็ก ดังนั้นขนาด training area ก็จะต้องเล็ก เพราะถูกจำกัดให้อยู่ภายในขอบเขตนี้ ส่วนพื้นที่ป่าทึบหรือทะเลนั้น มีขอบเขตกว้างใหญ่ ก็ย่อมเลือก training area ให้มีขนาดใหญ่ได้ การเลือก training area นั้น หากเลือกให้มีลักษณะคล้ายประเภทเดียว หรือน้อยประเภทที่สุดแล้ว training area ใหญ่หรือเล็ก ก็จะทำให้ค่าสถิติออกมาใกล้เคียงกัน **รูปที่ 35** ได้ลองเพิ่มขนาดของ training area ขึ้นอีก ค่าสถิติที่ได้ก็ใกล้เคียง กับค่าสถิติที่แสดงในรูปที่ 21

2. ขนาดของ training class

ขนาดของ training class จะขึ้นอยู่กับขนาดและจำนวนของ training area นั่นคือ แต่ละ training class จะมีมากกว่า 1 training area ก็ได้ **รูปที่ 36** คือค่าสถิติของ training class ทั้ง 5 ที่ได้เพิ่มทั้งขนาดและจำนวน training area ก็ยังให้ค่าใกล้เคียงกับค่าในรูปที่ 21 และยังให้ผลการจำแนกภาพใกล้เคียงกับรูปเดิม **รูปที่ 37** เปรียบเทียบกับรูปที่ 33 บริเวณเดียวกัน

3. จำนวน class ที่เหมาะสม

การเลือกจำนวน class จะเป็นปัญหาที่เกิดขึ้นในการจำแนกภาพเสมอว่าจะใช้กี่ประเภทดี ประการแรกสุดนั้น จะขึ้นอยู่กับวัตถุประสงค์ หรือความต้องการของผู้วิจัยเอง ประการต่อมาคือผลการจำแนกภาพว่าถูกต้องอยู่ในเกณฑ์ที่ต้องการหรือไม่ ซึ่งอาจจะต้องเพิ่มหรือลดจำนวน class จากเดิมก็ได้ ดังเช่นผลการจำแนกภาพ ของปี พ.ศ. 2516 ครั้งแรกได้เลือก training class 4 class เมื่อลองจำแนกภาพดูแล้วปรากฏว่ายังไม่ได้ผลตามต้องการ จึงเพิ่ม class อีกเป็น 5 class (**รูปที่ 31**)

4. เวลาในการจำแนกภาพ

ในการจำแนกภาพโดยวิธี Maximum Likelihood นี้ จะต้องนำค่าสถิติต่าง ๆ คือ mean vector inverse และ determinant ของ covariance matrix ไปคำนวณค่า discriminant functions ตามสูตรคือ

STATISTICS

SUMX
 5299.
 6240.

MEAN VECTOR
 14.39946
 16.95632

INVERSE MATRIX
 2.91779
 -0.19507 0.56921

IDENTITY MATRIX
 1.00000
 0.00000 1.00000

DET = 0.52232

D=FRS
TPTS
 368
 368

SUMXY
 76431.
 89890. 106368.

COVARIANCE MATRIX
 0.34956
 0.10189 1.52601

SUMX
 9303.
 4759.

MEAN VECTOR
 32.56378
 18.66275

INVERSE MATRIX
 0.07417
 -0.08454 0.19832

IDENTITY MATRIX
 1.00000
 -0.00000 1.00000

DET = 132.22815

OTHER
TPTS
 255
 255

SUMXY
 277013.
 157796. 91307.

COVARIANCE MATRIX
 26.22366
 11.17807 7.80707

SUMX
 3158.
 160.

MEAN VECTOR
 12.38431
 0.62745

INVERSE MATRIX
 1.74401
 -0.80488 4.63269

IDENTITY MATRIX
 1.00000
 0.00000 1.00000

DET = 0.13458

WATER
TPTS
 255
 255

SUMXY
 39268.
 2009. 160.

COVARIANCE MATRIX
 0.62338
 0.10831 0.23468

* READY TO PROCEED
REWINDING INPUT TAPE - STAND BY

```

Z 2 4 513
-FR50-FR50THERMGOVERNATER
190 200 2 121 131 2
370 384 2 139 155 2
628 656 2 320 374 2
536 714 2 214 250 2
748 790 2 75 107 2
1252 1274 2 355 385 2
1316 1334 2 183 197 2
1340 1350 2 153 175 2
1310 1324 2 405 415 2
1356 1400 2 465 475 2
1576 1586 2 43 61 2
1602 1636 2 335 359 2
1662 1678 2 157 179 2

```

STATISTICS

C-FRS

```

SUMX          TPTS          SUMXY
1572.         108          22988.
1725.         108          25097.  27679.

MEAN VECTOR          COVARIANCE MATRIX
14.55556             0.99689
13.97222             -0.10592      1.18614

INVERSE MATRIX
1.01273
0.09043      0.85115

IDENTITY MATRIX
1.00000
-0.00000      1.00000

DET = 1.17123

```

D-FRS

```

SUMX          TPTS          SUMXY
11603.        1079          125593.
19207.        1079          207250.  345723.

MEAN VECTOR          COVARIANCE MATRIX
10.75348           0.76108
17.80074           0.65677      3.54747

INVERSE MATRIX
1.56376
-0.28931      0.33549

IDENTITY MATRIX
1.00000
0.00000      1.00000

DET = 2.26854

```

OTHER

SUMX	TPTS	SUMXY
10025.	354	309899.
7491.	354	215512. 159961.

MEAN VECTOR	COVARIANCE MATRIX
28.31921	73.65142
21.16102	9.55470 4.09617

INVERSE MATRIX
0.01948
-0.04551 0.35030

IDENTITY MATRIX
1.00000
0.00000 1.00000

DET = 209.95446

MGOVE

SJMX	TPTS	SUMXY
635.	48	8447.
545.	48	7198. 6337.

MEAN VECTOR	COVARIANCE MATRIX
11.22917	0.98892
11.35417	-0.25310 3.16977

INVERSE MATRIX
1.03230
0.08243 0.32206

IDENTITY MATRIX
1.00000
0.00000 1.00000

DET = 3.07059

WATER

SUMX	TPTS	SUMXY
3458.	402	29964.
132.	402	1166. 140.

MEAN VECTOR	COVARIANCE MATRIX
8.60199	0.54444
0.32836	0.07615 6.24104

INVERSE MATRIX
1.92168
-0.60713 4.34052

IDENTITY MATRIX
1.00000
0.00000 1.00000

DET = 0.12543

* CU-SIGNALS
 PROJECT CU-SIGNALS CLASSIFICATION MAP
 MAP OF CHANNELS 2 4
 MAP FROM POINTS 1 TO 250 EVERY 2 POINTS
 LINES 152 TO 200 EVERY 2 LINES

06 JAN 71 C N12-58/E101-04 W N12-57/E101-09 SUN EL42 AZ156 100-2120-71-0- NASA ERTS E-1167-03070-7

CLASSIFYING PURPOSE : TO DETECT FOREST BOUNDARY IN THE EASTERN OF THAILAND
 CLASSIFYING AREA : CHACHONGSAR / CHON BURI / CHANTHABURI / RAYONG
 CLASSIFYING SYMBOLS :
 W = SEA OR WATER
 O = DENSE FOREST
 / = MANGROVE
 * = CUT FOREST
 - = OTHER



SUMMARY OF POINT VALUES		AREA OF EACH CHARACTER	
W =	0 PIXELS	0.00000	KN.50.
O =	1804 PIXELS	31.92350	KN.50.
/ =	29 PIXELS	0.51310	KN.50.
* =	1202 PIXELS	21.27059	KN.50.
- =	90 PIXELS	1.59264	KN.50.
TOTAL =	3125 PIXELS	55.30000	KN.50.

รูปที่ 37 ผลการลองจำแนกภาพ โดยใช้ค่าสถิติจากรูปที่ 36

โดยที่จะต้องคำนวณค่า discriminant นี้ ไปทีละ class ในแต่ละ class จะต้องคำนวณให้ครบแบบดที่เลือกไว้ แล้วจึงเลือกค่า discriminant ใน class ที่ให้ค่าสูงสุด ทำอย่างนี้ไปเรื่อย ๆ ทีละจุด ๆ จนกว่าจะครบทุกจุดในพื้นที่ที่ศึกษา จะเห็นได้ว่าเวลาที่เสียไปในการคำนวณแต่ละจุดนั้น เนื่องจากต้องทำงานวนอยู่ใน loop ตามจำนวน class และแบบดนั้นเอง ดังนั้นการเพิ่มหรือลดจำนวน class และจำนวนแบบด จะมีผลต่อเวลาในการจำแนกภาพ จากสถิติพบว่า

จะใช้เวลาคำนวณ	5 บรรทัด/นาที	เมื่อใช้ข้อมูล	4 class ใน 2 แบบด
"	4 บรรทัด/นาที	"	5 class ใน 2 แบบด
"	3.5 บรรทัด/นาที	"	5 class ใน 3 แบบด

5. การเพิ่มความสามารถในการวิเคราะห์ข้อมูล

จากการวิจัยการวิเคราะห์ข้อมูลจากดาวเทียมสำรวจทรัพยากร LANDSAT-1 และ 2 ครั้งนี้ ทำให้เราทราบถึงข้อพึงระวังอย่างหนึ่ง กล่าวคือขนาดความกว้างยาวของหนึ่ง pixel ซึ่งมี resolution 79 x 79 ตร.เมตร นั้น มีขนาดใหญ่พอที่จะครอบคลุมพื้นที่ได้มากกว่าหนึ่งประเภท ซึ่งอาจทำให้ค่าความเข้มของ pixel นั้นผิดไปจากความจริงได้ สำหรับการวิจัยต่อจากนี้ไป จึงควรแก้ปัญหานี้ด้วยวิธี Clustering¹ อย่างไรก็ตาม ปัญหานี้จะหมดไป เนื่องจากขนาด resolution ของ LANDSAT-3 จะ เท่ากับ 40 x 40 ตร. เมตร ทำให้ความผิดพลาดของค่าความเข้มของ pixel ลดน้อยลง

¹Philip H. Swain and John C. Lindenlaub, "Pattern Recognition: A Basis for Remote Sensing Data Analysis," Remote Sensing Technology and Applications (Indiana: Prudue University, July 31. August 11, 1972): 65.